

สำนักหอสมุด มหาวิทยาลัยบูรพา
ต.แสนสุข อ.เมือง จ.ชลบุรี 20131



รายงานฉบับสมบูรณ์ปีที่ 1

ความหลากหลายทางพันธุกรรมของปูบางชนิดที่พบบริเวณพื้นที่
ปากปักพันธุกรรมพืชทางทะเล หมู่เกาะแม่สาร จังหวัดชลบุรี

โดย วันศุกร์ เสนานาญ, Ade Yamindago และ นงนุช ตั้งเกริกโภสาร
ภาควิชาการศึกษาศาสตร์ คณะวิทยาศาสตร์ มหาวิทยาลัยบูรพา

๗๒๐๔๖๙๙
๒๖ มี.ค. ๒๕๕๕

เริ่มบริการ
๓๐ พ.ค. ๒๕๕๕

3 0 1 4 1 5

ทุนอุดหนุนการวิจัยงบประมาณเงินรายได้ (เงินอุดหนุนรัฐบาล)
ปีงบประมาณ 2554

บทคัดย่อ

แม้ว่าการจัดจำแนกโดยใช้ลักษณะภายนอก (morphology) ยังมีความจำเป็นในการแยกชนิด สิ่งมีชีวิต และเป็นวิธีมาตรฐานที่นักอนุกรมวิธานใช้ทั่วโลก แต่เครื่องมือดังกล่าวก็มีข้อจำกัดในบาง กรณี เนื่องจากบางลักษณะที่ใช้แยกจีนส์ หรือสปีชีส์อาจไม่ได้สะท้อนถึงความสัมพันธ์ทางวิัฒนาการ หรือมีความคาดเดาของลักษณะในกลุ่มนุกรุ่นวิธานที่ต่างกัน การศึกษาเรื่องนี้จึงได้ศึกษาความหลากหลาย ชนิดของปูน้ำเค็ม 14 สปีชีส์ จาก 6 แฟมิลี (Xanthidae, Galenidae, Eriphiidae, Oziidae, Menippidae และ Grapsidae) ที่พบบริเวณหมู่เกาะแสมสารโดยใช้ลำดับนิวคลีโอไทด์บางส่วนของ ยีน 16S rRNA บนไม้โตคอนเดรีย และ 18S rRNA บนนิวเคลียส ในการตรวจสอบความสัมพันธ์ทาง วิัฒนาการ และศักยภาพของการใช้ดีเอ็นเอในการจัดจำแนกชนิด

ผลการศึกษาพบว่าสายนิวคลีโอไทด์ ยีน 16S rRNA และ 18S rRNA ที่ใช้มีขนาดเท่ากับ 515 และ 751 คู่เบสตามลำดับ แต่ดีเอ็นเอทั้งสองสายมีความแปรปรวนไม่เท่ากัน โดยยีน 16S rRNA มีของ ความหลากหลายทางพันธุกรรมมากกว่ายีน 18S rRNA โดยมีจำนวนตำแหน่งที่มีความแปรปรวน คิด เป็นร้อยละ 47.57 ของสายนิวคลีโอไทด์ (245 จาก 515 คู่เบส) ในขณะที่ ยีน 18S rRNA มี ตำแหน่งที่มีความแปรปรวนเพียงร้อยละ 4.89 ของสายนิวคลีโอไทด์เท่านั้น (37 จาก 751 คู่เบส) ดังนั้นลำดับนิวคลีโอไทด์ของยีน 16S rRNA จึงมีศักยภาพในการอธิบายความแตกต่างระหว่างหน่วย อนุกรมวิธาน และจัดหมวดหมู่ได้มากกว่ายีน 18S rRNA

ลำดับนิวคลีโอไทด์ของยีน 16S rRNA สามารถจัดตัวอย่างได้ตรงตามสปีชีส์ที่แยกโดยสัญญาณ ได้อย่างชัดเจนในทุกสปีชีส์ และสามารถจัดกลุ่มสปีชีส์โดยวิธี Maximum Likelihood ได้ตรงตาม การจัดอนุกรมวิธานระดับแฟมิลี ได้เป็น 6 กลุ่ม ได้แก่ (1) *Lophozoaymus pictor*, *Leptodius exaratus*, *Atergatis integerrimus*, *A. floridus*, (2) *Halimede osthodes* และ *Galene bispinosa*, (3) *Mennipe rumpfii* และ *Myomenippe hardwickii*, (4) *Eriphia smithii*, (5) *Met. frontalis*, *Met. latifrons* และ *Met. oceanicus* (outgroup), (6) *Ozius guttatus* และ *Epixanthus frontalis* โดยมีค่า bootstrap สนับสนุนการจัดกลุ่มด้วยทั้งสองวิธีการ อยู่ในช่วง 74- 100% อย่างไรก็ตาม การจัดกลุ่มทางพันธุกรรมยังไม่สามารถอธิบายความสัมพันธ์ระหว่าง 5 แฟมิลี ที่เคยอยู่ในแฟมิลี Xanthidae Alcock, 1938 ในระดับ ชุปเปอร์แฟมิลีได้ โดยแฟมิลี Eriphiidae, Oziidae และ Menippidae อยู่ชุปเปอร์แฟมิลีเดียวกัน ไม่ได้มีความใกล้ชิดทางพันธุกรรมในระดับที่ มากกว่า ชุปเปอร์แฟมิลีอื่น ข้อมูลในส่วนนี้จะเป็นฐานข้อมูลที่สำคัญในการจัดจำแนก ตัวอย่างที่อาจมีสภาพที่ไม่สามารถแยกโดยสัญญาณได้ หรือในช่วงชีวิตที่อาจแยกยากโดยสัญญาณ (เช่น ระยะตัวอ่อน)

Abstract

Although morphological characters are typically useful for taxonomy, the variation in some characters may not reflect evolution relationships among taxa due to convergent evolution or the morphological-based identification may be difficult with taxa with highly variable characters. This study, therefore, analyzed genetic divergence among 14 species from 6 families collected from Samaesarn Islands using partial sequences of 16SrRNA and 18SrRNA genes. The aims are to evaluate phylogenetic relationships among taxa and the potential of these DNA fragments as a species diagnostic tool.

We analyzed 515 and 751 base pairs of 16SrDNA and 18SrDNA sequences respectively. Sequences of 16SrRNA gene appeared to be more variable than those of 18SrRNA with the variable sites accounting for 47.57 % of the total length (245/515 bp). In contrast, the 18SrRNA sequences only contained 4.89% of variable sites (37/751 base pairs). Our results suggested that 16SrDNA sequences proved to be more effective in identify ‘correct’ species and revealed phylogenetic relationships compared to 18SrDNA.

16SrDNA sequences correctly assigned all 14 species according to the morphology-based identification. A phylogenetic analysis based on Maximum likelihood method revealed at least 6 clades according to their families. These group included (1) *Lophozoaymus pictor*, *Leptodius exaratus*, *Atergatis integrerrimus*, *A. floridus*, (2) *Halimede oothodes* and *Galene bispinosa*, (3) *Mennipe rumpfii* and *Myomenippe hardwickii*, (4) *Eriphia smithii*, (5) *Met. frontalis*, *Met. latifrons* and *Met. oceanicus* (outgroup), and (6) *Ozius guttatus* and *Epixanthus frontalis* with the bootstrap supporting each node ranging from 74-100%. However, the analysis could not resolve relationships at a Superfamily level. Families Eriphiidae, Oziidae and Menippidae belong to the same Superfamily, Eriphioidea, but the phylogenetic tree showed the same level of difference between these families compares to members of other Superfamily. Our data provide important database for future species identification for parts or specimens with missing main characters or a life stage that is difficult to identify morphologically.

สารบัญ

หัวข้อ	หน้า
บทคัดย่อ	ก
abstract	ข
สารบัญ	ค
สารบัญภาพ	ง
สารบัญตาราง	จ
กิตติกรรมประกาศ	ฉ
บทนำ	1
วัตถุประสงค์ของโครงการวิจัย	2
กรอบแนวคิดงานวิจัย และเอกสารที่เกี่ยวข้อง	2
วิธีการศึกษา	10
ผลการศึกษา	16
วิจารณ์ผลการศึกษา	25
สรุปผลการศึกษา	35
เอกสารอ้างอิง	36

สารบัญภาพ

หน้า

ภาพที่ 1	ส่วนประกอบของแผนภูมิต้นไม้แสดงความสัมพันธ์ทางวิวัฒนาการ	6
ภาพที่ 2	ลักษณะแผนภูมิต้นไม้ทางวิวัฒนาการ	7
ภาพที่ 3	แนวการสร้างแผนภูมิต้นไม้โดยใช้วิธีทางคณิตศาสตร์ และ ประเภทของข้อมูลที่ใช้	7
ภาพที่ 4	แผนที่พื้นที่ปักปักพันธุกรรมพืชทางทะเล เกาะแสมสารและเกาะไกล์เคียง อำเภอสัตหีบ จังหวัดชลบุรี	10
ภาพที่ 5	แผนภูมิแสดงความสัมพันธ์ทางวิวัฒนาการ (Phylogenetic tree) ที่สร้างจากลำดับนิวคลีโอไทด์บางส่วนของยีน 16S rRNA บนไม้โตคอนเดรีย ด้วยใช้วิธีการ Minimum Evolution	20
ภาพที่ 6	แผนภูมิแสดงความสัมพันธ์ทางวิวัฒนาการ ที่สร้างจากลำดับนิวคลีโอไทด์บางส่วนของยีน 16S rRNA บนไม้โตคอนเดรีย ด้วยใช้วิธีการ Maximum likelihood	21
ภาพที่ 7	แผนภูมิแสดงความสัมพันธ์ทางวิวัฒนาการที่สร้างจากลำดับนิวคลีโอไทด์บางส่วนของยีน 18S rRNA บนไม้โตคอนเดรีย ด้วยใช้วิธีการ Minimum Evolution	23
ภาพที่ 8	แผนภูมิแสดงความสัมพันธ์ทางวิวัฒนาการ (Phylogenetic tree) ที่สร้างจากลำดับนิวคลีโอไทด์บางส่วนของยีน 18S rRNA บนไม้โตคอนเดรีย ด้วยใช้วิธีการ Maximum likelihood	24
ภาพที่ 9	สัณฐานของปูในสกุล <i>Metopograpsus</i> ที่พบบริเวณหมู่เกาะแสมสาร (a) <i>Met. latifrons</i> , (b) <i>Met. frontalis</i> และ (c) <i>Met. oceanicus</i>	27
ภาพที่ 10	การ align ลำดับนิวคลีโอไทด์ของปูน้ำเค็มสกุล <i>Metopograpsus</i> 3 สปีชีส์คือ <i>Met. frontalis</i> (Mefr), <i>Met. latifrons</i> (Mela) และ <i>Met. oceanicus</i> (Meoc)	27
ภาพที่ 11	การจัดกลุ่มของสปีชีส์ และแฟมิลี โดยการวิเคราะห์ cluster analysis จากค่า Bray-Curtis similarity index	30

ภาพที่ 12	การจัดกลุ่มสปีชีส์โดยวิธี multidimensional scaling (MDS) จากค่า Bray-Curtis similarity index ที่คำนวนจาก ความคล้ายกันของสัณฐาน 21 ลักษณะ และช้อนทับด้วย Superfamily ที่แสดงเป็นสัญลักษณ์แบบต่างๆ	30
ภาพที่ 13	การจัดกลุ่มสปีชีส์โดยวิธี multidimensional scaling (MDS) จากค่า Bray-Curtis similarity index ที่คำนวนจาก ความคล้ายกันของสัณฐาน 21 ลักษณะ และช้อนทับด้วยการจัดกลุ่มโดยการวิเคราะห์ความสัมพันธ์ทางวิัฒนาการ แบบ Maximum Likelihood	31
ภาพที่ 14	ความสัมพันธ์ทางวิัฒนาการที่สร้างจากลำดับนิวคลีโอไทด์บางส่วนของยีน 16SrRNA บนไมโครคอนเดรีย ของลำดับนิวคลีโอไทด์จากหมู่เกาะแสมสารและ GenBank	34

สารบัญตาราง

หน้า

ตารางที่ 1	ชนิดของปูที่ใช้ในการศึกษาในครั้งนี้	11
ตารางที่ 2	รายละเอียดของส่วนผสมพิชีอาร์ของยีน 16SrRNA และ 18SrRNA	13
ตารางที่ 3	รายละเอียดของไฟรเมอร์ พร้อมรายละเอียดของอุณหภูมิที่ไฟรเมอร์ เกาะกับดีเอ็นเอต้นแบบ	13
ตารางที่ 4	ความหลากหลายทางพันธุกรรม และข้อมูลสถิติของลำดับนิวคลีโอ ไทด์บางส่วนของ ยีน 16SrRNA และ 18SrRNA ที่ใช้ในการศึกษาใน ครั้งนี้	16
ตารางที่ 5	ค่าความแตกต่างทางพันธุกรรมของยีน 16SrRNA ภายใน (แนวต่าง มุม) และระหว่างสปีชีส์ (แนวล่างเส้นทแยงมุม)	19
ตารางที่ 6	ค่าความแตกต่างทางพันธุกรรมของยีน 18SrRNA ภายใน (แนวต่าง มุม) และระหว่างสปีชีส์ (แนวล่างเส้นทแยงมุม)	22
ตารางที่ 7	ชิ้นส่วนดีเอ็นเอที่สามารถแยกชนิดสิ่งมีชีวิตได้	26
ตารางที่ 8	รายชื่อสปีชีส์ของปูในกลุ่มปูใบ ที่มีสายนิวคลีโอไทด์ของยีน 16SrDNA ที่มีในฐานข้อมูล GenBank	32

กิตติกรรมประกาศ

โครงการ ความหลากหลายทางพันธุกรรมของกุ้ง ปูและกั้ง ที่พบบริเวณพื้นที่ปากปักพันธุกรรมพืชทางทะเล หมู่เกาะแสมสาร จังหวัดชลบุรี ในปีที่ 1 ได้สำเร็จลุล่วงไป ด้วยความร่วมมือจาก หลายฝ่าย และการสนับสนุนของหน่วยงานต่างๆ รวมถึงนิสิตระดับปริญญาตรี และโทของภาควิชา วาริชศาสตร์

ขอขอบคุณโครงการอนุรักษ์พันธุกรรมพืชอันเนื่องมาจากพระราชดำริสมเด็จพระเทพ รัตนราชสุดาฯ สำนักงานคณะกรรมการวิจัยแห่งชาติ และ หน่วยสงเคราะห์พิเศษทางเรือ กองเรือ ยุทธการ ที่สนับสนุนงบประมาณ และความช่วยเหลืออื่นๆ ขณะออกเก็บตัวอย่าง ภาควิชา varich ศาสตร์ คณะวิทยาศาสตร์ และสถาบันวิทยาศาสตร์ทางทะเล ที่อนุเคราะห์เครื่องมือในการเก็บ ตัวอย่าง และอนุเคราะห์สถานที่ในการวิเคราะห์ตัวอย่าง

ขอขอบคุณ คุณขวัญเรือน ศรีนัย สถาบันวิทยาศาสตร์ทางทะเล ในการช่วยเก็บตัวอย่าง และคุณสุภาร สอนแก้ว ภาควิชา varich ศาสตร์ คณะวิทยาศาสตร์ ในการช่วยวิเคราะห์ตัวอย่าง บางส่วน ขอขอบคุณนิสิตระดับปริญญาตรีของภาควิชา varich ศาสตร์ทุกท่าน

บทนำ

ประเทศไทยตั้งอยู่ในเขตต้อนชื้น และมีสภาพทางภูมิศาสตร์ที่เอื้อให้มีความหลากหลายทางชีวภาพสูง ซึ่งรวมถึงทรัพยากรทางทะเล ประเทศไทยน่าจะมีสิ่งมีชีวิตอยู่ประมาณ 124,003 ชนิด หรือร้อยละ 8.9 ของสิ่งมีชีวิตอยู่ในโลกทั้งหมด ซึ่งรวมถึงชนิดพันธุ์ที่ระบุชื่อแล้ว และที่ยังไม่พบ (วิสุทธิ์ ใบเมี้ย, 2548) อย่างไรก็ตาม กิจกรรมของมนุษย์กำลังคุกคามความหลากหลายทางชีวภาพ ดังกล่าว ซึ่งเปรียบเสมือนต้นทุนทางทรัพยากรของประเทศไทย ดังนั้นด้วยสายพะเนตรกว้างและยาวไกล พระบาทสมเด็จพระเจ้าอยู่หัว ทรงเห็นถึงความสำคัญของการอนุรักษ์พันธุกรรมพืช โดยทรงเริ่มดำเนินงานพัฒนาและอนุรักษ์ทรัพยากรธรรมชาติ และความหลากหลายทางชีวภาพ ตั้งแต่ปี 2503 เป็นต้นมา โดยมีพระราชดำริให้ดำเนินการสำรวจรวมปลูกดูแลรักษาพรมพืชต่างๆ ที่หายากและกำลังจะหมดไป ต่อมาในปี พ.ศ. 2535 สมเด็จพระเทพรัตนราชสุดาฯ สยามบรมราชกุมารี ได้ทรงประสานพระราชปณิธานต่อโดยมีพระราชดำริกับนายแก้วขวัญ วัชโธทัย เลขาธิการพระราชวัง ให้ดำเนินการอนุรักษ์พืชพรมของประเทศไทยโดยพระราชทานให้โครงการส่วนพระองค์ฯ สวนจิตรลดา เป็นผู้ดำเนินการจัดสร้างธนาคารพืชพรมขึ้น ตั้งแต่ปี พ.ศ. 2536 เป็นต้นมา

สัตว์กลุ่มกุ้ง ปู และกุ้งนับเป็นสัตว์ที่มีคุณค่าทางเศรษฐกิจ (กรมประมง, 2544) และสำคัญต่อระบบนิเวศน์ โดยเป็นส่วนหนึ่งของห่วงโซ่ออาหาร โดยเฉพาะอย่างยิ่งกลุ่มที่มีขนาดเล็ก อย่างไรก็ตาม การจัดจำแนกหมวดหมู่ของกุ้ง ปู และกุ้งยังมีความสับสนอยู่มาก และมีการปรับเปลี่ยนการเรียกชื่ออยู่เสมอ อีกทั้งยังมีสัตว์ชนิดใหม่ๆ ที่เพิ่งจะถูกค้นพบ จึงมีความจำเป็นที่จะต้องมีการรวบรวมและเรียบเรียงให้การจัดหมวดหมู่สัตว์กลุ่มนี้ไปในทิศทางเดียวกัน แม้ว่าการจัดจำแนกโดยใช้ลักษณะภายนอก (morphology) ยังมีความจำเป็นในการแยกชนิดสิ่งมีชีวิต และเป็นวิธีมาตรฐานที่นักอนุกรมวิธานใช้ทั่วโลก แต่เครื่องมือดังกล่าวก็มีข้อจำกัดในบางกรณี เช่นจากบางลักษณะที่ใช้แยกจีนส์ หรือสปีชีส์อาจไม่ได้สะท้อนถึงความสัมพันธ์ทางวิวัฒนาการ ปัจจุบันจึงมีการพัฒนาเครื่องมือใหม่ๆ ในระดับดีเย็นๆ เพื่อช่วยในการจัดจำแนกและจัดลำดับความสัมพันธ์ทางวิวัฒนาการของสัตว์กลุ่มกุ้ง ปู และกุ้งทะเล (เช่น Kim and Abele, 1990; Tudge and Cunningham, 2002; Schubart et al., 2006) นอกจากนี้ประชาคมวิทยาศาสตร์ระดับโลก ได้เล็งเห็นความจำเป็นในการพัฒนาฐานข้อมูลดีเย็นของสิ่งมีชีวิตประเภทต่างๆ ที่ผ่านการทดสอบและเทียบความถูกต้อง (verify) กับตัวอย่างอ้างอิง (voucher specimen) เพื่อให้การจำแนกชนิดเป็นไปอย่างรวดเร็ว สำหรับการใช้งานที่อาจจะหาญใช้ยาก เช่น การตรวจสอบชนิดพืชและสัตว์ที่นำเข้า หรือ การคัดกรองศัตรุพืช หรือ เชื้อก่อโรค (เช่น Consortium on the barcode of life; <http://www.barcoding.si.edu/>)

การศึกษานี้ใช้ตัวแทนยืนของทั้งจากไมโทคอนเดรีย (16SrRNA) และจากในนิวเคลียส (18SrRNA) ในการสะท้อนรูปแบบความสัมพันธ์ทางวิวัฒนาการของสัตว์กลุ่มกุ้ง ปู และกุ้ง

เนื่องจากยังแต่ละประเภทมีความโดยเด่นเฉพาะตัวที่อาจให้รูปแบบความสัมพันธ์ทางวิวัฒนาการที่เหมือนหรือแตกต่างกัน โดยยืนบนไม้โตคอนเดรียดีเอ็นเอ มักมีอัตราการเกิดการแทนที่นิวคลีโอไทด์สูงกว่าดีเอ็นเอในนิวเคลียส (ประมาณ 5-10 เท่า) ไม่มีการรวมยีนหรือการแลกเปลี่ยนสารพันธุกรรม (Recombination) และมีการถ่ายทอดสารพันธุกรรมจากแม่สู่ลูก (Avise, 2004) ซึ่งต่างจากยังในนิวเคลียสที่มี recombination และถ่ายทอดสู่รุ่นลูกจากทั้งทางพ่อและแม่ การใช้เครื่องหมายพันธุกรรมทั้งสองประเภทน่าจะสามารถสะท้อนภาพความสัมพันธ์ทางวิวัฒนาการของกลุ่มอนุกรมวิธาน (taxonomic unit) ที่มีความใกล้เคียงกัน ได้แม่นยำกว่าการเครื่องหมายพันธุกรรมประเภทเดียว การวิเคราะห์ที่ดีที่สุดคือการใช้ข้อมูลหลายๆ ประเภทรวมถึง สันฐาน ดีเอ็นในนิวเคลียส และดีเอ็นเอในไม้โตคอนเดรีย

รายงานฉบับนี้จะเสนอผลการวิจัยที่แล้วเสร็จในปีที่ 1 ของการวิจัย นั่นคือ การวิเคราะห์ความหลากหลายทางพันธุกรรมของปูน้ำเค็มทั้งสิ้น 14 สปีชีส์

วัตถุประสงค์ของโครงการวิจัย (ปีที่ 1)

1. พัฒนาเครื่องมือทางชีวโมเลกุลในการแยกชนิดปู ที่พบบริเวณเกาะแสมสาร เกาะแรด เกาะจางเกลือ และเกาะขาม อำเภอสัตหีบ จังหวัดชลบุรี
2. พัฒนาฐานข้อมูลพันธุกรรมระดับชนิดของปู ที่พบบริเวณเกาะแสมสาร เกาะแรด เกาะจางเกลือ และเกาะขาม อำเภอสัตหีบ จังหวัดชลบุรี
3. วิเคราะห์ความสัมพันธ์ทางวิวัฒนาการของบางกลุ่มอนุกรมวิธานของปู ที่พบบริเวณเกาะแสมสาร เกาะแรด เกาะจางเกลือ และเกาะขาม อำเภอสัตหีบ จังหวัดชลบุรีโดยใช้คำจำกัดนิวคลีโอไทด์ของยีนบนไม้โตคอนเดรีย และยีนในนิวเคลียส

กรอบแนวคิดงานวิจัย และเอกสารที่เกี่ยวข้อง

ความสัมพันธ์เชิงวิวัฒนาการของสิ่งมีชีวิต เป็นความรู้พื้นฐานในการเข้าใจความสัมพันธ์ระหว่างสิ่งมีชีวิต ในอดีตนักอนุกรมวิธานมักพึงพาสันฐาน (ซึ่งในสัตว์กลุ่มกุ้ง ปู และกุ้ง ลักษณะที่สำคัญจะรวมถึงสีลำตัว ระยะค์ รูปร่าง และพื้นผิวของเปลือก) ในจัดจำแนกชนิด ซึ่งการอนุมานความสัมพันธ์ทางวิวัฒนาการจากลักษณะสันฐานเพียงอย่างเดียว อาจทำให้แผนภูมิความสัมพันธ์ที่ได้คลาดเคลื่อนไปจากความเป็นจริง เนื่องจากลักษณะสันฐานที่ใช้ในการแยกชนิดบางอย่างอาจไม่ได้สะท้อนความสัมพันธ์เชิงวิวัฒนาการ หรืออัตราการเปลี่ยนแปลงทางวิวัฒนาการดังนั้นจึงมีการนำเครื่องหมายพันธุกรรมมาช่วยใช้ในการจัดจำแนกและจัดลำดับความสัมพันธ์ทางวิวัฒนาการของหน่วยอนุกรมวิธาน (เช่นจีนส หรือ สปีชีส์) ของสิ่งมีชีวิต

เครื่องหมายพันธุกรรมและความสัมพันธ์ทางวิถีทางการ

เครื่องหมายพันธุกรรม ซึ่งหมายถึงสารพันธุกรรมที่บ่งชี้ความแตกต่างระหว่างชนิดประชากร หรือ บุคคล ที่ใช้กันอย่างแพร่หลายในปัจจุบันมีหลากหลายประเภท เช่น โมเลกุลของโปรตีน ชิ้นส่วนดีเอ็นเอที่สร้างโปรตีน (ยีน) และ ชิ้นส่วนดีเอ็นเอที่ไม่สร้างโปรตีน ทั้งที่อยู่ในนิวเคลียส และ ออร์กานาล เช่น ไมโทคอนเดรีย เครื่องหมายพันธุกรรมที่เหมาะสมสำหรับการแยกครอบครัว สกุล และสปีชีส์ ควรเป็นเครื่องหมายฯ ที่มีอัตราการกลายที่เหมาะสม ไม่ช้า หรือเร็วเกินไป ข้อสำคัญในการศึกษาความสัมพันธ์ทางวิถีทางการของสิ่งมีชีวิตในระดับโมเลกุลนั้น คือ การเลือกยีนหรือชิ้นส่วนดีเอ็นเอที่ให้มีอัตราการเกิดวิถีทางการ (Rate of Evolution) เหมาะสมกับระดับความสัมพันธ์ทางวิถีทางการระหว่างกลุ่มสิ่งมีชีวิตที่สนใจ โดยยีนที่มีอัตราวิถีทางการช้า เช่นยีน 16S rRNA และ COI บนไมโทคอนเดรีย จะเหมาะสมกับการตรวจสอบความสัมพันธ์ทางวิถีทางการของสิ่งมีชีวิตระหว่างชนิดและระหว่างสกุล (Billington, 2003; Baldwin et al., 1998; Chu et al., 1999; Maggioni et al., 2001)

เครื่องหมายฯ ที่นิยมใช้ในการจัดความสัมพันธ์ทางวิถีทางการได้แก่ ยีน 12SrRNA (Robel et al., 2007), 16S rRNA (เช่น Baldwin et al., 1998; Lavery et al., 2004; Maggioni et al., 2001) และ COI (Consortium on the barcode of life, Hebert et al. 2004; วนิสา กันทะมณี, 2550) บนไมโทคอนเดรีย และ ยีน 18S rRNA ในนิวเคลียส (เช่น Kim and Abele, 1990; Tudge and Cunningham, 2002) การศึกษานี้ได้ใช้ตัวแทนยีนของห้างจากไมโทคอนเดรีย และจากในนิวเคลียสเนื่องจาก ยีนแต่ละประเภทมีความโดดเด่นเฉพาะตัวที่อาจให้รูปแบบความสัมพันธ์ทางวิถีทางการที่เหมือนหรือแตกต่างกัน

ไมโทคอนเดรียดีเอ็นเอในสัตว์เป็นดีเอ็นเอรูปวงแหวนขนาดเล็ก (Double-Stranded Loop DNA) ขนาดประมาณ 14,000-26,000 คู่เบส ประกอบด้วยยีนที่สังเคราะห์โปรตีน 13 ยีน ยีนที่สร้าง tRNA 2 ยีน และ t tRNA 22 ยีน ตามลำดับ โดยมีการกลายพันธุ์สูงสุดในส่วนของ Control Region (D-Loop) และต่ำสุดในส่วนของยีนที่ควบคุมการสร้าง RNA ไมโทคอนเดรียดีเอ็นเอมีอัตราการเกิดการแทนที่นิวคลีโอไทด์สูงกว่าดีเอ็นเอในนิวเคลียส (ประมาณ 5-10 เท่า) ไม่มีการรวมยีนหรือการแลกเปลี่ยนสารพันธุกรรม (Recombination) และมีการถ่ายทอดสารพันธุกรรมจากแม่สู่ลูก คุณสมบัติต่าง ๆ เหล่านี้ทำให้สารพันธุกรรมในไมโทคอนเดรียสามารถเป็นเครื่องหมายพันธุกรรมที่เหมาะสมในการประเมินความสัมพันธ์ทางวิถีทางการระหว่างสิ่งมีชีวิตที่มีบรรพบุรุษร่วมกันได้ (Avise, 2004; Billington, 2003; Lowe et al., 2004)

ส่วนในนิวเคลียส มีความหลากหลายของรูปแบบดีเอ็นเอให้เลือกค่อนข้างมาก โดยมีทั้งยีนและส่วนที่ไม่ใช่ยีน แต่ในการศึกษาวิถีทางการจะต้องสปีชีส์ หรือ หมวดหมู่ที่ใหญ่กว่านี้ มักใช้ยีน

เนื่องจาก มีระดับการกลายที่ไม่สูงจนกลบความแตกต่างระหว่างชนิด ทั้งนี้ศักยภาพของยีนแต่ละยีนในการจัดหมวดหมู่ค่อนข้างจะเฉพาะเจาะจงกับสายทางวิ世ภพการหนึ่งๆ (lineage) และจำนวนกลุ่มอนุกรมวิธานที่อยู่ในฐานข้อมูลมีจำนวนน้อยกว่าข้อมูลยืนยันไม่ต่อคอนเดรีย อย่างไรก็ตาม ยีนในนิวเคลียสก็มีคุณสมบัติที่น่าสนใจ กล่าวคือเป็นยีนที่สามารถเกิด recombination และการถ่ายทอดจากทั้งทางพ่อและแม่ ยีนในนิวเคลียสที่มีการใช้ในกลุ่มปู ได้แก่ ยีน 18SrRNA (Ahyong et al. 2007), Arginine Kinase (Mahon and Neigel, 2008) และ ยีน Histone3 (Schubart and Reuchel, 2010)

กลไกการเปลี่ยนแปลงระดับโมเลกุลที่ทำให้เกิดความหลากหลายทางพันธุกรรมในสิ่งมีชีวิต ได้แก่ การกลายพันธุ์ (Mutation) โดยแบ่งรูปแบบของการกลายพันธุ์เป็น 2 รูปแบบ คือ ระดับโครโมโซม และระดับนิวคลีโอไทด์ โดย การกลายพันธุ์ระดับโครโมโซม รวมถึง

1. การย้ายสลับที่ระหว่างชิ้นส่วนโครโนโซมต่างคู่ (Translocation) ส่งผลกระทบต่อหน้าที่ของยีน
2. การกลับทิศของชิ้นส่วนโครโนโซม (Inversion)
3. การเมีบงส่วนของโครโนโซมขาดหายไป (Deletion) หรือเกินมา (Insertion or Duplication)
4. การเปลี่ยนแปลงจำนวนโครโนโซม

ในขณะที่ การกลายพันธุ์ระดับยีน เป็นการเปลี่ยนแปลงรูปแบบของยีนจาก อัลลิลหนึ่งไป เป็นอีกอัลลิลหนึ่งซึ่งเป็นผลมาจากการเปลี่ยนแปลงนิวคลีโอไทด์ในดีเอ็นเอ ซึ่งได้แก่ การแทนที่คู่เบส (Nucleotide or Base Substitution) และ การสูญเสียหรือการเพิ่มนิวคลีโอไทด์ (deletion and insertion) การแทนที่คู่เบส คือ การแทนที่เบสในสายโพลีนิวคลีโอไทด์ของดีเอ็นเอ แบ่งออกเป็น 2 ชนิด คือ

1. การแทนที่ระหว่างเบสกลุ่มเดียวกัน (Transition) คือ การเกิดการย้ายโปรดอน หรืออิเล็กตอนของไฮโดรเจนภายในโมเลกุลของเบสเอง ทำให้เบส อะดีนีน (Adenine - A) สลับแทนที่กับ กัวนีน (Guanine - G) ในกลุ่มเบสพิวรีน (Purine) หรือ ไซโตซีน (Cytosine - C) สลับแทนที่กับไทมีน (Thymine - T) ในกลุ่มเบสไพริดีน (Pyrimidine)
2. การแทนที่ระหว่างเบสต่างกลุ่ม (Transversion) มักเกิดในช่วงการซ่อมแซมตัวเอง ของดีเอ็นเอ เป็นการแทนที่เบสในกลุ่มพิวรีน (A, G) ด้วยเบสกลุ่มไพริดีน (C, T) หรือเกิดในทางกลับกัน

การกลยุทธ์อาจเปลี่ยนแปลงหรือไม่เปลี่ยนแปลงการแสดงออกของยีน อย่างไรก็ตาม การเกิดการกลยุทธ์ที่มีการเปลี่ยนแปลงโครงสร้าง เช่น การเพิ่ม การสูญเสีย และการกลับทิศ ของสายดีเอ็นเอเกิดขึ้นได้ยากกว่าการเกิดการแทนที่คู่เบส (Lowe et al., 2004)

กุ้ง และปูบางชนิดที่พบที่บางเกาะของหมู่เกาะแสมสาร ได้แก่ กุ้งตีดขัน (ครอบครัว Caridae) ปูในครอบครัว Portunidae, Grapsidae และ Xanthidae (นงนุช ตั้งเกริกโภพ, ติดต่อ ส่วนตัว) สำหรับสัตว์กลุ่มนี้ต้องกล่าวได้มีรายงานข้อมูลความสัมพันธ์ทางวิวัฒนาการโดยใช้ เครื่องหมายพันธุกรรมอยู่บ้าง ซึ่งงานทั้งหมดเป็นงานของต่างประเทศ Mathews and Anker (2009) ได้รายงานความสัมพันธ์ของ species complex ของกุ้งตีดขัน (snapping shrimp, ครอบครัว Alpheidae) จีนส์ Alpheidae บริเวณ ทะเลカリเบียน, อ่าวเม็กซิโก, ฟลอริด้า, บรากิล และ ทะเลแปซิฟิกฝั่งตะวันออกโดยใช้ลำดับนิวคลีโอไทด์ของยีน 16S rRNA และ COI บนไมโทคอนเดรีย และยีน myosin heavy chain ในนิวเคลียส กุ้งเหล่านี้มีความแตกต่างกันเพียงแค่สีของลำตัว และ การมี/ไม่มีแถบบริเวณก้ามเท่านั้น ผู้วิจัยพบว่า ใน species complex นี้ประกอบไปด้วยอย่างน้อย 19 สปีชีส์

ตัวอย่างการศึกษาความสัมพันธ์ของปูในครอบครัว Portunidae ได้มีรายงานในประเทศไทยจีน (เช่น Chu et al. 1999) หรืออเมริกา (เช่น Robels et al. 2006) และ บริเวณอ่าวเม็กซิโกและ มหาสมุทรแอตแลนติกฝั่งตะวันตก (เช่น Mantelatto et al., 2007) Chu et al. (1999) ได้ วิเคราะห์ความสัมพันธ์ทางวิวัฒนาการของปูจีนส์ *Charybdis* 4 ชนิดโดยใช้ยีน COI บนไมโทคอนเด รีย์ ซึ่งผู้วิจัยพบการแบ่งแยกชนิดที่สอดคล้องกับสัณฐาน โดย *C. atra* และ *C. japonica* มี ความสัมพันธ์ใกล้ชิดกันมากกว่าชนิดอื่น (*C. acuta* และ *C. feriatus*) ในทวีปอเมริกา Robels et al. (2006) ใช้ 16S และ 12S rRNA ในการแยกสปีชีส์ในจีนส์ *Callinectes* ซึ่งประกอบไปด้วย 16 ชนิดในบริเวณที่ศึกษา (แยกโดยสัณฐาน) และพบว่ามีเพียง 12 ชนิดที่น่าจะเป็นสปีชีส์แท้จริง

บ่อยครั้งที่การศึกษาทางพันธุกรรม ให้ผลสอดคล้องกับ การแยกชนิดโดยใช้สัณฐาน เช่น การศึกษาของ Chu et al. (1999) อย่างไรก็ตาม ข้อมูลพันธุกรรมบางชุด ก็ให้ผลไม่สอดคล้องกับ ลักษณะทางสัณฐาน เช่น ความสัมพันธ์ของปูบางสปีชีส์ภายในจีนส์ *Callinectes* หรือ จีนส์ *Portunus* นอกจากนี้ยังบนไมโทคอนเดรีย อาจให้ผลที่แตกต่างจากยีนในนิวเคลียส ดังนั้นเพื่อให้ ได้ภาพความสัมพันธ์ที่ใกล้เคียงกับความเป็นจริง จึงควรต้องใช้ข้อมูลหลายชุดไม่ว่าจะเป็นข้อมูล สัณฐาน ยีนบนไมโทคอนเดรีย และ ยีนในนิวเคลียส

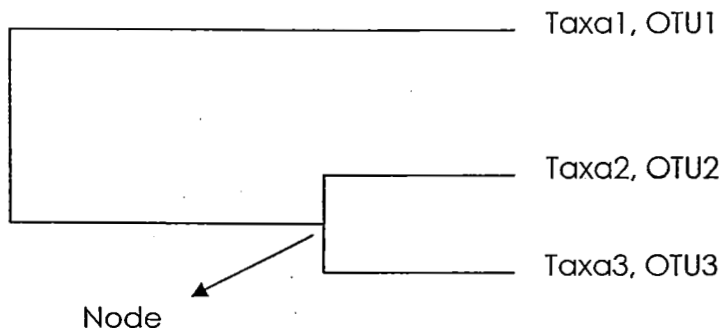
การวิเคราะห์ความสัมพันธ์ทางวิวัฒนาการ

การจัดหมวดหมู่ของกลุ่มทางอนุกรมวิธาน (operating taxon unit หรือ OUT) หรือ taxa (เช่น ครอบครัว สกุล และ สปีชีส์) ให้สอดคล้องกับความสัมพันธ์ทางวิวัฒนาการ มักจะ

แสดงการจัดกลุ่ม (cluster) ในลักษณะของแผนภูมิแผนภูมิต้นไม้ (phylogenetic tree, ภาพที่ 1) โดยกลุ่มอนุกรมวิธานที่อยู่ใน cluster เดียวกันจะมีความสัมพันธ์มากกว่า กลุ่มอนุกรมวิธานที่อยู่กลุ่มอื่น แผนภูมิต้นไม้จะประกอบด้วยส่วนที่เป็นปม (Nodes) โดยยอด (Tips) หรือปลายก้านอก (Terminal Nodes) แสดงถึง OTUs และกิ่ง (Branches) ที่เชื่อมระหว่างปมจะแสดงถึงความสัมพันธ์ทางวิวัฒนาการ ที่มีบรรพบุรุษร่วมกันระหว่าง OTUs (ภาพที่ 1) โดยรูปแบบของแผนภูมิต้นไม้ทางวิวัฒนาการในลักษณะนี้ว่า Topology

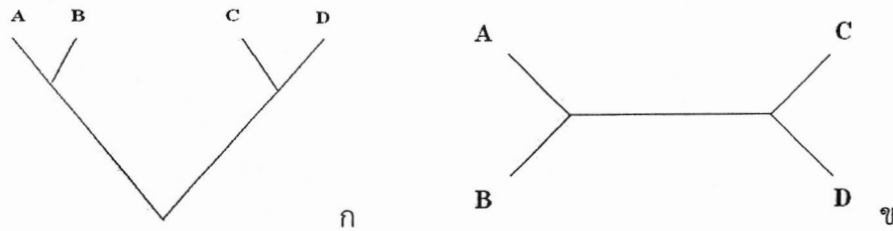
การสร้างแผนภูมิต้นไม้ จำเป็นต้องใช้วิธีการทางคณิตศาสตร์ที่ค่อนข้างจำเพาะ (เช่น Hillis and Moritz 1990; Lemey et al. 2009) โดยใช้ข้อมูล 2 ประเภทคือ

1. ข้อมูลที่จัดเป็นหมวดหมู่ได้ชัดเจน (discrete data) ซึ่งอาจเป็นใช้ได้ทั้งข้อมูลสัมฐาน และ ข้อมูลสารพันธุกรรม เช่น การมี/ไม่มีลักษณะหนึ่งๆ (นามที่ก้ามหนบของปู หรือ รูปร่างカラเปส ของปูต่างชนิด) การมี/ไม่มีนิวคลีโอไทด์เบสหนึ่งๆ บนสายดีเอ็นเอ และการมี/ไม่มีดับเบสที่แตกต่างกันที่ตำแหน่งเดียวกันระหว่างสายนิวคลีโอไทด์ โดย OTUs ที่มีความคล้ายคลึงกันมากจะมีความสัมพันธ์ทางวิวัฒนาการใกล้ชิดกันมากกว่า OTUs อื่น
2. ดัชนีความเมื่ອัน/แตกต่าง (distance data) โดยการแปลงชุดข้อมูล ระหว่าง คู่กลุ่มอนุกรมวิธาน เป็นตารางของค่าความห่างทางพันธุกรรม (Distance Matrix) ทั้งนี้การคำนวณระยะห่างทางพันธุกรรมอาจใช้โมเดลทางคณิตศาสตร์ที่ลงทะเบียนอัตราทางวิวัฒนาการของยีนหนึ่งๆ OTUs ที่มีค่าความห่างทางพันธุกรรมน้อยที่สุดเป็นกลุ่มที่มีความสัมพันธ์ทางวิวัฒนาการใกล้ชิดกันมากที่สุด

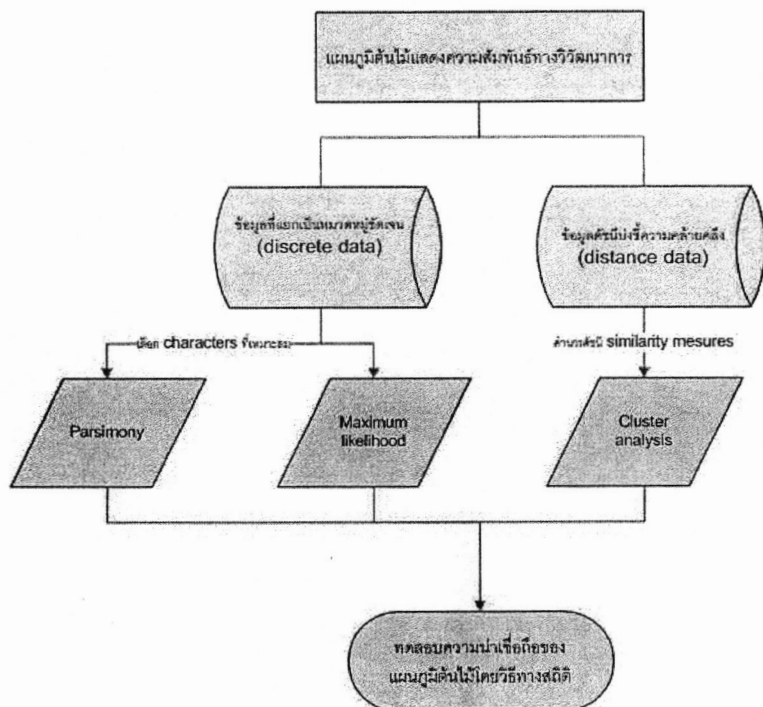


ภาพที่ 1 ส่วนประกอบของแผนภูมิต้นไม้แสดงความสัมพันธ์ทางวิวัฒนาการ (phylogenetic tree)

Phylogenetic Tree สามารถแบ่งออกเป็น 2 ประเภท คือ Rooted Tree (ภาพที่ 2ก.) และ Unrooted Tree (ภาพที่ 2ข.) โดยการสร้าง Phylogenetic Tree ส่วนใหญ่มักสร้างในรูป Unrooted Tree ก่อน ซึ่งจะแสดงความสัมพันธ์ระหว่าง OTUs ที่ทำการศึกษาแต่ไม่สามารถระบุตำแหน่งของการมีบรรพบุรุษร่วมได้ ส่วน Rooted Tree เป็นการตีราก Unrooted Tree กับกลุ่มอนุกรมวิธานที่มีความห่างทางพันธุกรรม(Outgroup) กับ OTUs เพื่อตีริงแผนภูมิแสดงความสัมพันธ์ทางวิถีตามการ (ศิราฐ กลินบุ Thompson, 2544; Halliburton, 2004)



ภาพที่ 2 ลักษณะแผนภูมิต้นไม้ทางวิถีตามการแบบ ก. Rooted Tree ข. แบบ Unrooted Tree



ภาพที่ 3 แนวทางสร้างแผนภูมิต้นไม้โดยใช้วิธีทางคณิตศาสตร์ และ ประเภทของข้อมูลที่ใช้

เมื่อพิจารณาข้อมูลแบบใดแบบหนึ่ง (สัณฐาน ดีเอ็นในนิวเคลียส หรือ ดีเอ็นเอบนไมโทคอนเครีย) จะได้แผนภูมิต้นไม้หลายรูปแบบที่อาจสอดคล้อง หรือ ขัดแย้งกับการใช้ข้อมูลอีกชุดหนึ่ง การศึกษานี้จะทดสอบสมมติฐานโดยการยอมรับ หรือ ปฏิเสธ รูปแบบแผนภูมิต้นไม้ที่สร้างจากข้อมูลชุดหนึ่งๆ (สัณฐาน หรือ พันธุกรรม) และ ข้อมูลทั้งสองชุดรวมกัน

การสร้างแผนภูมิต้นไม้ มักใช้วิธีการทางคณิตศาสตร์ และ สติติ 3 แบบ (Hillis and Moritz 1990; ภาพที่ 3) คือ (1) maximum parsimony คือ การสร้างต้นไม้ที่ใช้จำนวนการเปลี่ยนแปลงของลักษณะน้อยที่สุด (2) maximum likelihood คือ การหาต้นไม้ที่มีค่าความน่าจะเป็นมากที่สุดโดยคิดจากอัตราการเปลี่ยนแปลงของลักษณะ เช่น อัตราการแทนที่ของนิวคลีโอไทด์ ณ ตำแหน่งหนึ่งๆ และ (3) การจัดกลุ่ม (cluster analysis) โดยใช้ข้อมูลระยะห่างทางพันธุกรรม

1. Maximum Parsimony Method

วิธีนี้ประเมินความสัมพันธ์ทางวิวัฒนาการจากข้อมูลที่เป็น Discrete Data โดยใช้จำนวนการเปลี่ยนแปลงของลักษณะ ซึ่งในการวิเคราะห์ความแตกต่างลำดับนิวคลีโอไทด์ของยีนตำแหน่งเดียวกันในสิ่งมีชีวิตนั้น ตำแหน่งนิวคลีโอไทด์ ที่สามารถนำมาสร้างแผนภูมิต้นไม้ทางวิวัฒนาการได้ต้องเป็น Informative Site นั่นคือต้องมีเบสแท็กต่างกันอย่างน้อย 2 เบส และพบเบสที่แท็กต่างในอย่างน้อย 2 OTUs โดยแผนภูมิต้นไม้ที่ดีที่สุดจะมีจำนวนการเปลี่ยนแปลงของนิวคลีโอไทด์น้อยที่สุดในทุก ๆ ตำแหน่งที่ใช้ในการวิเคราะห์ (Halliburton, 2004; Swofford and Sullivan, 2009) โดยวิธีการหา Tree แบบ Heuristic Search จะสร้าง Core Tree เริ่มต้นก่อนขึ้นด้วยวิธีที่เรียกว่า Stepwise Addition Algorithm จากนั้นจะทำการสลับตำแหน่งของกิ่งเพื่อหา Tree ที่ดีที่สุดและเพิ่มตัวอย่างเข้าไปใน Core Tree แบบสุ่มตัวอย่าง (Random) โดยพิจารณาตามหลักของ Maximum Parsimony โดยต้นไม้ที่ดีที่สุด คือการจัดกลุ่มที่มีการเปลี่ยนแปลงทางวิวัฒนาการที่น้อยที่สุด

2. Maximum Likelihood Method

วิธีนี้ประเมินความสัมพันธ์ทางวิวัฒนาการของสิ่งมีชีวิตจากการคำนวณค่าความน่าจะเป็นของอัตราการเปลี่ยนแปลงของลักษณะ (เช่น การแทนที่นิวคลีโอไทด์) เพื่อหาแผนภูมิต้นไม้แสดงความสัมพันธ์ทางวิวัฒนาการที่มีค่าความน่าจะเป็นสูงสุด ซึ่งส่วนใหญ่มักใช้ข้อมูลลำดับนิวคลีโอไทด์ คำนวณค่าความน่าจะเป็นของ Phylogenetic Tree จากผลรวมของค่าความน่าจะเป็นของ การแทนที่นิวคลีโอไทด์ ณ ตำแหน่งนั้น (Lowe et al., 2004) โดยอัตราการเกิดการแทนที่นิวคลีโอไทด์ต่างรูปแบบ (Transition/ Transversion) จะมีค่าเท่ากันหรือแตกต่างขึ้นอยู่กับแบบจำลองการ

แทนที่นิวคลีโอไทด์ (Model of Nucleotide Substitution) เช่น Jukes-Cantor One Parameter และ Kimura's Two Parameter เป็นต้น (Halliburton, 2004; Lowe et al., 2004)

3. Distance Method

วิธีนี้ประเมินความสัมพันธ์ทางวิวัฒนาการโดยการจัดหมวดหมู่ OTUs ตามระยะห่างทางพันธุกรรม (Genetic Distance) โดยคู่ OTUs ที่มีค่าความห่างทางพันธุกรรมน้อยสุดจะมีความสัมพันธ์ทางวิวัฒนาการใกล้ชิดกันมากที่สุดและจะถูกจัดเป็น OTUs ในรุ่ง 1 OTUs เพื่อนำมาคำนวณหาค่าความห่างทางพันธุกรรมระหว่างคู่ OTUs ในรูป Distance Matrix ใหม่อีกรัง ทำเช่นนี้จนครบทุก OTUs จะได้ความสัมพันธ์ทางวิวัฒนาการระหว่าง OTUs ที่ทำการศึกษาทั้งหมดโดยมักนิยมใช้วิธีการจัดกลุ่มแบบ Neighbor-Joining (Saitou & Nei, 1987) ในการสร้าง Phylogenetic Tree (Halliburton, 2004)

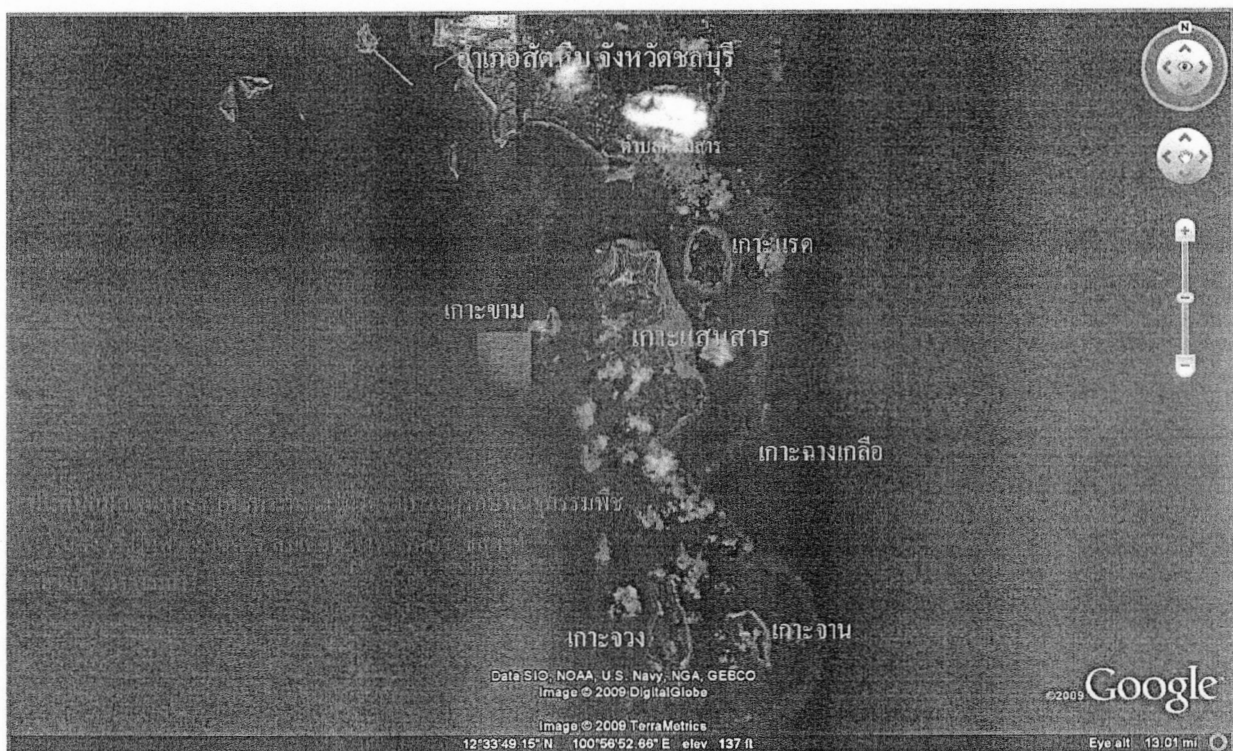
การประเมินค่าความเชื่อมั่นในการประเมินความสัมพันธ์ทางวิวัฒนาการนั้น นิยมวิธี Bootstrapping ซึ่งเป็นการสุ่มจากข้อมูลลำดับนิวคลีโอไทด์เดิม โดยเป็นการสุ่มและแทนที่นิวคลีโอไทด์ในแต่ละตำแหน่งในชุดข้อมูลเดิมจนได้เป็นชุดข้อมูลลำดับนิวคลีโนไทด์ใหม่ เพื่อนำไปสร้าง Phylogenetic Tree ใหม่ด้วยวิธีการสร้างแผนภูมิเดิม ขบวนการนี้จะทำซ้ำหลายครั้งจนได้แผนภูมิตันไม่หลากหลาย Topology ซึ่งท้ายที่สุดจะได้แผนภูมิตันไม้ที่แสดงค่าความเชื่อมั่นในรูปร้อยละของรูปแบบแผนภูมิที่สร้างขึ้นใหม่ ซึ่งจะสัมพันธ์กับข้อมูลลำดับนิวคลีโอไทด์เดิม โดยกิ่งที่มีค่าความเชื่อมั่น 100% น่าจะแสดงแม่นยำของการจัดกลุ่ม (Felsenstein, 1985)

การเลือกหารูปแบบการจัดกลุ่มที่พิบใน Phylogenetic Tree เป็นผลสรุปจาก Tree ทั้งหมด ซึ่งอาจเกิดจากการทดสอบ Bootstrapping หรือเป็นผลมาจากการสร้าง Tree จากวิธีต่าง ๆ เช่น Maximum Parsimony แล้วได้ Tree จำนวนหนึ่งที่มีสัณฐานของ Phylogenetic Tree แตกต่างกัน แต่มีจำนวนการถลายพันธุ์เท่ากันและเป็นการถลายพันธุ์ที่น้อยที่สุดเช่นกัน วิธีการสร้าง Consensus Tree ที่นิยมใช้กันอยู่มี 2 วิธี คือ วิธี Strict ซึ่งจะสร้าง Consensus Tree ด้วยข้อกำหนดว่ากิ่งใด ๆ ที่ปรากฏใน Consensus Tree จะต้องปรากฏใน Phylogenetic Tree ทั้งหมด (100%) ที่นำมาพิจารณา และวิธี Majority Rule ซึ่งจะสร้าง Consensus Tree ซึ่งมีข้อกำหนดว่ากิ่งที่ปรากฏใน Consensus Tree จะต้องปรากฏเป็นส่วนใหญ่ของ Phylogenetic Tree ที่นำมาพิจารณา

วิธีการศึกษา

การรวบรวมตัวอย่าง

รวบรวมตัวอย่างปูน้ำเค็มจำนวนทั้งสิ้น 14 สปีชีส์จากครอบครัว Galenidae, Xanthidae, Eriphiidae, Oziidae, Menippidae และ Grapsidae (ซึ่งเป็นกลุ่มปูใบ และปูแสม) (ตารางที่ 1) จากบริเวณเกาะแม่น้ำ เกาะแรด เกาะจางเกลือ และเกาะขาม อำเภอสัตหีบ จังหวัดชลบุรี (ภาพที่ 4) โดยจะใช้ตัวอย่างที่จัดจำแนกชนิดด้วยสัณฐาน จากโครงการย่อย ความหลากหลายทางชีวภาพของกุ้ง ปู และ กั้ง บริเวณเกาะแม่น้ำ เกาะแรด เกาะจางเกลือ และเกาะขาม อำเภอสัตหีบ จังหวัดชลบุรี และใช้จำนวนตัวอย่าง 1-5 ตัวอย่างต่อสปีชีส์ เก็บรักษาตัวอย่างด้วยแอลกอฮอล์ 95%



ภาพที่ 4 แผนที่พื้นที่ปกปักษ์ธรรมชาติทางทะเล เกาะแม่น้ำและเกาะใกล้เคียง อำเภอสัตหีบ จังหวัดชลบุรี (จากแผนกวิจัย ทรัพยากรชีวภาพทางทะเลในพื้นที่ปกปักษ์ธรรมชาติทางทะเล หมู่เกาะแม่น้ำ จังหวัดชลบุรี : องค์ความรู้ผู้ดูแลไทยและการใช้ประโยชน์อย่างยั่งยืน)

ตารางที่ 1 ชนิดของปูที่ใช้ในการศึกษาในครั้งนี้ โดยใช้ระบบทางอนุกรมวิธานระดับแฟมิลี และสเปซีส์ของ Ng et al. 2008

	Family (Ng et al. 2008), Superfamily (Ng et al. 2008)	Species (สัญลักษณ์)	จำนวนตัวอย่าง 16SrRNA, 18SrRNA
Ingroup			
1.	Galenidae Alcock, 1898; Galenoidae Samouelle, 1819	<i>Halimede octodes</i> (Haoc)	3, 1
2.		<i>Galene bispinosa</i> (Gabi)	3, 1
3.	Xanthidae MacLeay, 1838; Xanthoidea MacLeay, 1838	<i>Leptodius exaratus</i> (Leex)	3, 1
4.		<i>Atergatis integrimus</i> (Atin)	4, 3
5.		<i>Atergatis floridus</i> (Atfl)	4, 3
6.		<i>Lophozozymus pictor</i> (Lopi)	3, 1
7.	Eriphiidae* MacLeay, 1838; Eriphioidea MacLeay, 1838	<i>Eriphia smithii</i> (Ersm)	6, 8
8.	Oziidae* Dana, 1851; Eriphioidea MacLeay, 1838	<i>Ozius guttatus</i> (Ozgu)	4, 3
9.		<i>Epixanthus frontalis</i> (Epfr)	4, 3
10.	Menippidae* Ortmann, 1893; Eriphioidea MacLeay, 1838	<i>Myomenippe hardwickii</i> (Myha)	1, 0
11.		<i>Menippe rumpfii</i> (Meru)	2, 1
Outgroups			
1.	Grapsidae** MacLeay, 1838; Grapsoidea MacLeay, 1838	<i>Metopograpsus frontalis</i> (Mefr)	3, 3
2.		<i>Metapograpsus oceanicus</i> (Meoc)	1, 0
3.		<i>Metopograpsus latifrons</i> (Mela)	1, 1

หมายเหตุ * เป็นสมาชิก superfamily เดียวกันคือ Eriphioidea MacLeay, 1838 และ ** เป็นสมาชิกของ superfamily ที่มีสัณฐานแตกต่างจากปูชนิดที่ 1-11

การวิเคราะห์ในห้องปฏิบัติการ

การวิเคราะห์ในห้องปฏิบัติการจะประกอบไปด้วย (1) การสกัด DNA จากเนื้อเยื่อของตัวอย่างปู (2) การเพิ่มจำนวนดีเอ็นเอเป้าหมาย โดยปฏิกิริยาลูกโซ่ หรือพีซีอาร์ (polymerase chain reaction; PCR) (3) การตรวจสอบผลผลิตพีซีอาร์ โดยใช้เทคนิคเจลอะลีกโตรโฟริซิส (gel electrophoresis) ซึ่งจะแยกดีเอ็นเอที่มีน้ำหนักโมเลกุลที่ต่างกัน โดยใช้กระแสงไฟฟ้า และตรวจการประกายของแถบดีเอ็นเอเป้าหมายด้วยการย้อมเจลในสารละลาย ethidium bromide (4) การทำความสะอาดผลผลิตพีซีอาร์เพื่อการวิเคราะห์ลำดับนิวคลีโอไทด์

สกัดดีเอ็นเอ

สกัดดีเอ็นเอจากเนื้อเยื่อที่เก็บรักษาในแอลกอฮอล์ 95% ด้วยวิธีการสกัดมาตรฐาน (Aljanabi and Martinez 1997) หรือใช้ชุดสกัดดีเอ็นเอดำรงรูป (Geneaid Biotech Ltd, Taiwan R.O.C) เก็บรักษาดีเอ็นเอที่สกัดแล้วด้วยสารละลาย TE (10mM Tris, 0.1mM EDTA, pH 8.0) จนกว่าจะมีการวิเคราะห์ขั้นถัดไป

เพิ่มดีเอ็นเอเป้าหมายด้วยเทคนิคพีซีอาร์

เพิ่มปริมาณดีเอ็นเอของยีน 16S rRNA ในไมโทคอนเดรีย และยีน 18S rRNA ในนิวเคลียสโดยอาศัยการทำงานของเอนไซม์ DNA polymerase และการเปลี่ยนแปลงอุณหภูมิ (ปฏิกิริยาลูกโซ่; PCR; ตารางที่ 2) ใน 1 ปฏิกิริยา (30 μl) จะใช้ส่วนผสมดังนี้ คือ ดีเอ็นเอต้นแบบประมาณ 10-100 ng บัฟเฟอร์ความเข้มข้น 1 เท่า (เจือจางจากสารละลายบัฟเฟอร์ความเข้มข้น 10 เท่า) นิวคลีโอไทด์ไตรฟอสฟेट(dNTPs) ความเข้มข้นทั้ง 4 เบส 0.24-0.1 mM แมกนิเซียมคลอไรด์ ($MgCl_2$) ความเข้มข้น 1.5 mM ไพรเมอร์แต่ละสาย ที่ความเข้มข้น 0.2 μ mol และ *Taq* DNA polymerase 2 unit

การเพิ่มดีเอ็นเอในสารละลายปฏิกิริยาจะผ่านการเพิ่มลดอุณหภูมิในเครื่อง thermocycler (Gene Amp System 9700, Applied Biosystems, USA) โดยวัฏจักรการเพิ่มลดอุณหภูมิประกอบไปด้วย 3 ชุด คือ (1) วัฏจักร 1 รอบของการเพิ่มอุณหภูมิเพื่อให้ดีเอ็นเอแยกเป็น 2 เส้น (denaturing temperature, 94°C) เป็นเวลา 3 นาที (2) วัฏจักร 40 รอบของ denaturing temperature นาน 1 นาที การลดอุณหภูมิเพื่อให้ไพรเมอร์เกาะกับสายดีเอ็นเอต้นแบบ (annealing temperature, 48 และ 49 °C, ตารางที่ 3) เป็นเวลา 1 นาที และการเพิ่มอุณหภูมิเพื่อให้เอนไซม์ DNA polymerase ซ่อมสายดีเอ็นเอเส้นใหม่ให้สมบูรณ์ (extension temperature, 72 °C) เป็นเวลา 1.5 นาที และ (3) วัฏจักร 1 รอบ ของ extension temperature นาน 10 นาที (ดัดแปลงจาก Fratini et al. 2005; Giribet et al. 1996)

ตารางที่ 2. รายละเอียดของส่วนผสมพื้นฐานของยีน 16SrRNA และ 18SrRNA ในปฏิกริยา 30 μl

Composition	16S rRNA	18S rRNA
	(Fratini et al., 2005)	(Giribet et al., 1996)
10X PCR buffer	3 μl	3 μl
dNTPs (10 μM)	0.24 mM	0.1 mM
MgCl ₂ (50 mM)	1.5 mM	1.5 mM
Forward Primer (10 μM)	0.5 μM	0.42 μM
Reverse Primer (10 μM)	0.5 μM	0.42 μM
Distilled water		
Taq DNA Polymerase (5U/μl)	0.5 U	0.5 U
DNA template	10-20 ng	10-20 ng
Total	30 μl	30 μl

ตารางที่ 3 รายละเอียดของไพรเมอร์ พร้อมรายละเอียดของอุณหภูมิที่ไพรเมอร์ เกาะกับดีเอ็นเอ ต้นแบบ (annealing temperature) ที่ทดสอบในการศึกษาในครั้งนี้

Gene	Primer Sequences	Size (bp)	Annealing temp	Reference
16SrRNA	F : 5'-AGA TAG AAA CCA ACC TGG-3' R : 5'-TGC CTG TTT ATC AAA AAC AT-3'	~600 bp	48°C	Fratini et al., 2005
18SrRNA	5F : 5'-GCG AAA GCA TTT GCC AAG AA-3' 9R : 5'-GAT CCT TCC GCA GGT TCA CCT AC-3'	~800 bp	49°C	Giribet et al., 1996

ประเภทของเครื่องหมายพันธุกรรม

การศึกษานี้วิเคราะห์ความแปรปรวนทางพันธุกรรมของเครื่องหมายพันธุกรรม 2 ประเภท คือ ยีนบนไมโทคอนเดรียดีเอ็นเอ 1 ยีนคือ ยีน 16S rRNA และยีนที่อยู่ในนิวเคลียส 1 ยีน คือยีน 18S rRNA เนื่องจากยีนเหล่านี้มีระดับของการกลایพันธุ์เหมาะสมสำหรับการแยกจีโนทิป และสเปชีส สำหรับสัตว์กลุ่มปูน้ำเค็ม

การวิเคราะห์ลำดับนิวคลีโอไทด์

ทำการทดสอบผลผลิตพีซีอาร์ ด้วยชุดทำความสะอาดผลผลิตพีซีอาร์ สำเร็จรูป (HiYield Gel/PCR DNA Fragment extraction kit, RBC Bioscience) เพื่อกำจัดนิวคลีโอไทด์ อิสระ และชั้นไพรเมอร์ส่วนเกิน ตรวจสอบความคงเข้ม และปริมาณของผลผลิตพีซีอาร์ที่ทำความสะอาดแล้ว ด้วย agarose gel (Winfrey et al. 1994) ย้อมแผ่นเจลด้วยสารละลายเอธิเดียมโบรไมด์ สารตีอีนเอที่ย้อมติดด้วยเอธิเดียมโบรไมด์ จะเรืองแสง ภายใต้แสง UV เทียบความเข้มกับดีเอ็นเอขนาดมาตรฐาน 100 คู่เบส (M23 100 bp) จากนั้นวิเคราะห์ลำดับนิวคลีโอไทด์ ด้วยเครื่อง ลำดับนิวคลีโอไทด์อัตโนมัติ ABI 3100 (บริษัท 1st Base ประเทศไทย) การวิเคราะห์ ลำดับนิวคลีโอไทด์ดังกล่าวใช้ระบบวิเคราะห์อิเล็กตรโฟริชิสอัตโนมัติ (automated sequencer) ซึ่งอาศัยหลักการตรวจสอบคลื่นแสงที่ปลดปล่อยจากฉลากเรืองแสงบนเครื่องหมายพันธุกรรม เมื่อ กระตุ้นด้วยแสงเลเซอร์ ข้อมูลจะเป็น electropherogram ที่แสดง peak ของเบสหนึ่งๆ

การวิเคราะห์ข้อมูล

จัดและแก้ไขลำดับนิวคลีโอไทด์

ตรวจสอบความถูกต้องของลำดับนิวคลีโอไทด์ (ความสอดคล้องกันระหว่างนิวคลีโอไทด์ ที่อ่านได้ และ ความชัดเจนของ peak) ด้วยโปรแกรมคอมพิวเตอร์ Sequence Scanner v. 1 (Applied Biosystems, USA) จากนั้นจัดเรียง (align) ลำดับนิวคลีโอไทด์ที่แก้ไขแล้วของตัวอย่าง โดยใช้ algorithm ClustalW ที่มีอยู่ในซอฟท์แวร์ BioEdit version 7.05.3 (Hall, 1999) หลักการ ของการ align คือ การจัดเรียงลำดับนิวคลีโอไทด์อย่างน้อยสองเส้นให้มีจำนวนนิวคลีโอไทด์ เมื่อกันมากที่สุด และ มีจำนวนซ่องว่างที่เพิ่ม (gap) น้อยที่สุด การ align จะบ่งบอกตำแหน่งที่มี ความแตกต่างกันของนิวคลีโอไทด์ระหว่างสาย นิวคลีโอไทด์

ประยุกต์วิเคราะห์ลำดับนิวคลีโอไทด์

วิเคราะห์ความหลากหลายทางพันธุกรรมของสายนิวคลีโอไทด์ ของปู ชนิดต่างๆ โดยใช้ ข้อมูลดังต่อไปนี้ คือ (1) ค่าเฉลี่ยจำนวนเบสของแต่ละเบส (Bases Composition) (2) จำนวนตำแหน่งที่มีความแปรปรวนของนิวคลีโอไทด์ (Variable sites) และที่สามารถนำไปวิเคราะห์ ความสมพนธ์ทางวิวัฒนาการ (Parsimony informative sites) (3) ความแตกต่างทางวิวัฒนาการ ระหว่างสายนิวคลีโอไทด์ 7สาย ที่แสดงเป็นจำนวนการแทนที่เบสต่อตำแหน่ง (ตัวแทนเส้นทางแยกมุน)

และค่า standard error (หน่วยแทนเส้นทางแยกมุน) โดยใช้ Maximum Composite Likelihood model (Tamura et al., 2011) ค่าดังนี้เหล่านี้สามารถคำนวณได้จากโปรแกรมคอมพิวเตอร์ MEGA version 5.0 (Tamura et al., 2011)

ประเมินความสัมพันธ์ทางวิถีทางการ

แสดงความสัมพันธ์ทางวิถีทางการ โดยใช้แผนภูมิต้นไม้ ที่สร้างจากข้อมูลสัมฐาน และข้อมูลลำดับนิวคลีโอไทด์ (ยืนบนไม้โตคอนเดรียดีเอ็นเอ และยืนในนิวเคลียส) โดยวิธีต่อไปนี้ คือ (1) Minimum Evolution (Rzhetsky and Nei, 1992) ซึ่งใช้การสร้างเปรียบเทียบความแตกต่างของนิวคลีโอไทด์แต่ละตำแหน่งในแต่ละหน่วยอนุกรมวิธาน แผนภูมิที่ดีที่สุดจะเป็นแผนภูมิฯ ที่มีค่ารวมของความยาวแขน (branch length) ระหว่างสายนิวคลีโอไทด์บนแผนภูมิ น้อยที่สุด และ (2) Maximum likelihood ซึ่งมีการทดสอบหาอัตราการแทนที่นิวคลีโอไทด์ ที่เหมาะสมกับสายนิวคลีโอไทด์ที่ใช้ในการวิเคราะห์ โดยโมเดลที่อธิบายอัตราการเปลี่ยนแปลงนิวคลีโอไทด์ระหว่างตัวอย่าง ที่ดีที่สุด คือโมเดลที่ให้ค่า BIC (Bayesian Information Criterion) ต่ำที่สุด แผนภูมิที่ดีที่สุดสำหรับการจัดกลุ่มโดยวิธีนี้ คือแผนภูมิที่มีค่า likelihood สูงสุด ความเชื่อมั่นของการจัดกลุ่มของหน่วยอนุกรมวิธาน ได้จากการสุมข้อมูล Parsimony information sites แบบ bootstrap จำนวน 1000 ครั้ง (ได้ 1000 แผนภูมิฯ) จากนั้นนำเสนอการแผนภูมิฯที่จัดกลุ่มโดยรวม (Consensus Tree) แบบ Majority Rule (จะนำเสนอตัวเลขสนับสนุนการจัดกลุ่มเฉพาะที่ปรากฏในแผนภูมิมากกว่า 50%) วิเคราะห์ข้อมูลทั้งหมดโดยใช้โปรแกรมคอมพิวเตอร์ Mega version 5.0 (Tamura et al., 2011)

ผลการศึกษา

ความแปรปรวนของลำดับนิวคลีโอไทด์

สายนิวคลีโอไทด์ที่ใช้เคราะห์ (หลังจากการจัดเรียงนิวคลีโอไทด์) ในการศึกษารั้งนี้ มีความยาวทั้งสิ้น 515 และ 757 คู่เบส สำหรับบางส่วนของยีน 16S rRNA และ 18S rRNA ตามลำดับ (ตารางที่ 4) โดยสายนิวคลีโอไทด์ของยีน 16S rRNA มีองค์ประกอบของเบส T, C, A และ G ของทุกสายนิวคลีโอไทด์ที่วิเคราะห์ (41 สาย) เฉลี่ยเท่ากับ 35.2 %, 19.3 %, 34.5% และ 10.9% ตามลำดับ และยีน 18S rRNA มีองค์ประกอบของเบส T, C, A และ G ของทุกสายนิวคลีโอไทด์ที่วิเคราะห์ (37 สาย) เฉลี่ยเท่ากับ 22.2%, 28.7%, 23.6% และ 25.5% ตามลำดับ ซึ่งองค์ประกอบนิวคลีโอไทด์ของสายนิวคลีโอไทด์ของปูทุกชนิดที่มีข้อมูล มีค่าใกล้เคียงกัน (ข้อมูลไม่ได้แสดง) โดยเดลทางวิวัฒนาการ (การกลายที่ตำแหน่งต่างๆ) ที่อธิบายความแปรปรวนของลำดับนิวคลีโอไทด์ ที่ดีที่สุดโดยการวิเคราะห์ตามแนวทาง Bayesian สำหรับยีน 16S rRNA และ 18S rRNA คือ Hasegawa-Kishino-Yano ที่มีอัตราของการวิวัฒนาการที่แตกต่างกันระหว่างตำแหน่งที่อธิบายโดย Gamma distribution (HKY+G) และ Jukes-Cantor ที่มีอัตราของการวิวัฒนาการที่แตกต่างกันระหว่างตำแหน่งที่อธิบายโดย Gamma distribution (JC+G) ตามลำดับ

ตารางที่ 4 ความหลากหลายทางพันธุกรรม และข้อมูลสถิติของลำดับนิวคลีโอไทด์บางส่วนของ ยีน 16SrRNA และ 18SrRNA ที่ใช้ในการศึกษาในครั้งนี้

	16SrRNA gene	18SrRNA gene
Total number of nucleotides (bp)	515	757
Gaps	44	6
Number of sequence	41	37
Number of taxa	14	13
Number of Haplotype	30	11
Variable sites	245 (47.57%)	37 (4.89%)
Parsimony informative sites	230 (44.66%)	30 (3.96%)
Mean T content	35.2	22.2
Mean C content	19.3	28.7
Mean A content	34.5	23.6
Mean G content	10.9	23.6
Best model	HKY+G	JC+G

ระดับความคล้ายคลึงของสายนิวเคลียต์ภายในและระหว่างชนิด

ยีน 16S rRNA

เมื่อเปรียบเทียบสายนิวเคลียต์ภายในและระหว่างชนิดที่ร่วบรวมจากหมู่เกาะแสมสารจำนวนทั้งสิ้น 14 ชนิด (41 สาย) พบร่วมมีตำแหน่งที่มีความแปรปรวนทั้งสิ้น 245 จาก 515 คู่เบส คิดเป็นร้อยละ 47.57 และมีตำแหน่งที่เป็นประโยชน์ต่อการประเมินความสัมพันธ์ทางพันธุกรรม (parsimony informative sites) จำนวนทั้งสิ้น 230 จาก 515 คู่เบส คิดเป็นร้อยละ 44.66 (ตารางที่ 3) ความแตกต่างของสายนิวเคลียต์ของปูชนิดเดียวกันมีค่าตั้งแต่ 0.000 (*Metapograpsus frontalis*) ถึง 0.007 (*Ozius guttatus*) (ตารางที่ 4) ส่วนความต่างระหว่างชนิดปูมีค่าตั้งแต่ 0.059 (Met. *frontalis* และ Met. *latifrons*) ถึง 0.694 (Met. *frontalis* กับ *Lophozozymus pictor*) นอกจากนี้ยังสามารถจัดกลุ่มสปีชีส์ได้ตรงตามสปีชีส์ที่แยกโดยลักษณะสัณฐาน

แผนภูมิความสัมพันธ์ทางวิวัฒนาการที่ประเมินจากทั้งสองวิธี คือ Minimum evolution (ภาพที่ 5) และ Maximum likelihood (ภาพที่ 6) ให้คำตอบที่เหมือนกันคือ ยังตำแหน่งนี้สามารถจัดหมวดหมู่ในระดับสปีชีส์ได้ตรงตามลักษณะสัณฐาน โดยจัดกลุ่มปูสปีชีส์เดียวกันอยู่กลุ่มเดียวกัน และสามารถแบ่งหมวดหมู่ในระดับกลุ่ม (clades) ได้คล้ายกัน คือ 6-7 กลุ่ม ได้แก่ (1) *Lophozozymus pictor*, *Leptodius exaratus*, *Atergatis integerrimus*, *A. floridus*, (2) *Halimede oothodes* และ *Galene bispinosa*, (3) *Mennipe rumpfii* และ *Myomenippe hardwickii*, (4) *Eriphia smithii*, (5) Met. *frontalis*, Met. *latifrons* และ Met. *oceanicus* (outgroup), (6) *Ozius guttatus* และ *Epixanthus frontalis* ซึ่งในกลุ่มสุดท้ายนี้แบ่งเป็นสองกลุ่ม อย่างตามสกุล เมื่อวิเคราะห์ด้วยวิธี Minimum evolution ค่า bootstrap สนับสนุนการจัดกลุ่มด้วยทั้งสองวิธีการ อยู่ในช่วง 54-100%

วิธีการวิเคราะห์ทั้งสองแบบสามารถจัดปูที่อยู่ในสกุล *Metapograpsus* (Family Grapsidae) แยกออกจากปูอีก 5 ครอบครัว ซึ่งเคยอยู่ใน Family Xanthidae ตามการจัดหมวดหมู่ของ Sakai (1979) โดยภายใน Family Grapsidae ปูแสม Met. *frontalis* มีความคล้ายกันทางพันธุกรรมกับ Met. *latifrons* มากกว่า Met. *oceanicus* นอกจากนี้ การจัดกลุ่มแบบ Maximum likelihood โดยใช้ข้อมูลของยีน 16SrRNA ยังตรงกับการจัดหมวดหมู่โดยสัณฐานในระดับแฟ้มีที่อธิบายโดย Ng et al. (2008) (ภาพที่ 6) ที่ได้ทบทวนการจัดกลุ่ม Family Xanthidae ที่เสนอไว้ใน Sakai (1979) ใหม่โดยเสนอให้เพิ่มระดับ Superfamily เป็น 8 กลุ่ม และสร้าง/ปรับแฟ้มีใหม่ถึง 16 กลุ่ม (ตัวอย่างจากแสมสารเป็นตัวแทนของ 5 แฟ้มีในการจัดหมวดหมู่ตาม Ng et al. (2008) คือ Galenidae, Xanthidae, Eriphiidae, Oziidae, และ Menippidae) อย่างไรก็ตาม แผนภูมิฯ ยังไม่สามารถอธิบายความสัมพันธ์ระหว่าง 5 แฟ้มีเหล่านี้ได้ Ng et al. (2008)

ได้จัดให้แฟมิลี Eriphiidae, Oziidae และ Menippidae อยู่ Superfamily เดียวกัน แต่แผนภูมิฯ ให้น้ำหนักความแตกต่างทางพันธุกรรมของแฟมิลีเท่ากัน

แม้ว่าการจัดกลุ่มโดยวิธี Minimum Evolution จะให้ผลส่วนใหญ่คล้ายกับ การจัดกลุ่มแบบ Maximum likelihood แต่การจัดกลุ่มแบบ Minimum Evolution ยังไม่สามารถอธิบาย ความสัมพันธ์ระหว่าง *Ozius guttatus* และ *Expanthus frontalis* ซึ่งเป็นสกุลที่อยู่ใน Family Oziidae เมื่อก่อนกันได้

ยืน 18S rRNA

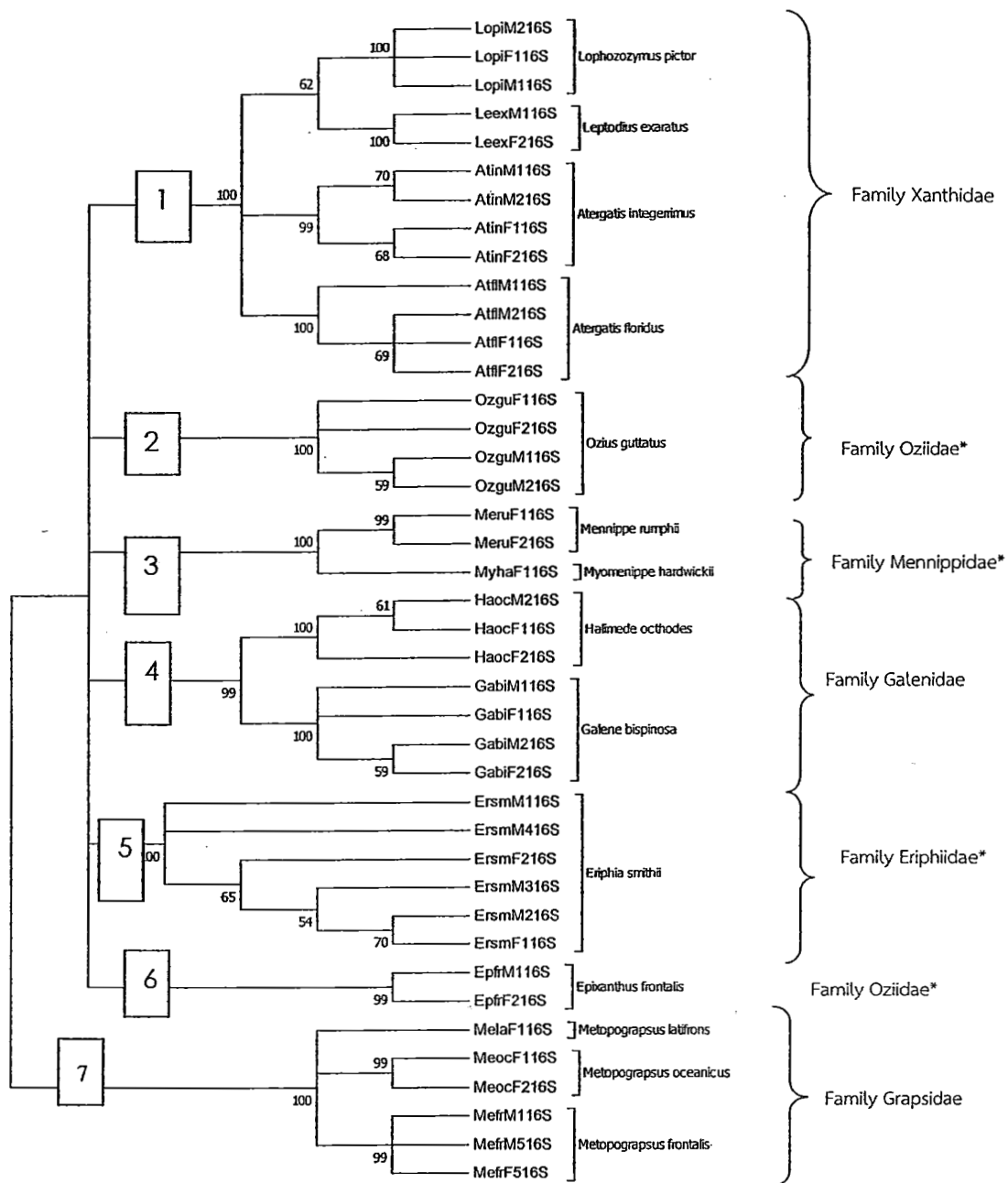
เมื่อเปรียบเทียบสายนิวเคลียสโอลิโ Ikeda ของปูทะเลที่รวบรวมจากหมู่เกาะแสมสารจำนวนทั้งสิ้น 13 ชนิด (37 สาย) พบร่วมมีตำแหน่งที่มีความแปรปรวนทั้งสิ้น 37 จาก 757 คู่เบส คิดเป็นร้อยละ 4.89 และมีตำแหน่งที่เป็นประโยชน์ต่อการประเมินความสัมพันธ์ทางพันธุกรรม (parsimony informative sites) จำนวนทั้งสิ้น 30 จาก 757 คู่เบส คิดเป็นร้อยละ 3.96 (ตารางที่ 3) ความแตกต่างของสายนิวเคลียสโอลิโ Ikeda ของปูชนิดเดียวกันมีค่าตั้งแต่ 0 (ปูเกือบทุกชนิด ยกเว้น *O. guttatus* และ *Met. oceanicus*) ถึง 0.002 (*Met. oceanicus*) (ตารางที่ 6) ส่วนความต่างระหว่างชนิดปูมีค่าตั้งแต่ 0 (3 คู่ได้แก่ *Atergatis integrimus* และ *A. floridus*; *Halimede oothodes* กับ *Leptodius exaratus* และ *Met. latifrons* กับ *Met. frontalis*) ถึง 0.032 (*Met. oceanicus* กับ *H. oothodes*, *G. bispinosa* และ *Le. exaratus*)

แผนภูมิความสัมพันธ์ทางวิวัฒนาการที่ประเมินจากทั้งสองวิธี คือ Minimum evolution (ภาพที่ 7) และ Maximum likelihood (ภาพที่ 8) ให้คำตอบที่คล้ายกันคือ ยืนตำแหน่งนี้ยังไม่สามารถจัดหมวดหมู่ปูในระดับสปีชีส์ได้ตรงตามลักษณะสัณฐานได้ เช่น ในกลุ่มจีนัส *Atergatis*, *Metopograpsus* และระหว่าง *O. guttatus* และ *Ep. frontalis* ทั้งสองวิธีการสามารถจัดกลุ่มได้คล้ายกัน คือ 5 กลุ่ม ได้แก่ (1) *Lo. pictor*, *A. integrimus*, *A. floridus*, และ *E. smithii* (ค่า bootstrap = 86-89%) (2) *Men. rumphii*

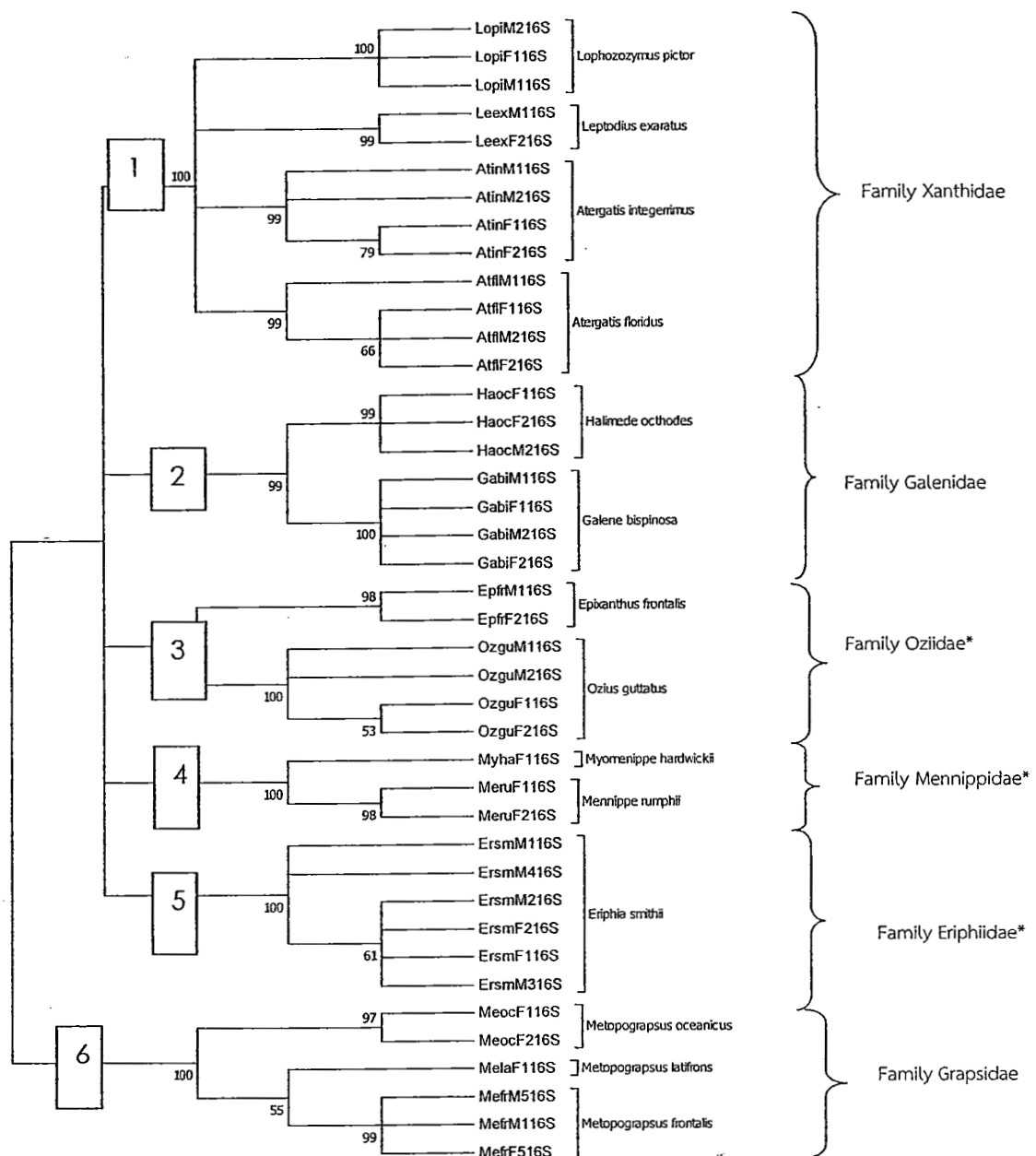
(3) *Ozius guttatus* และ *Epixanthus frontalis* (ค่า bootstrap = 76-90%) (4) *Met. frontalis*, *Met. latifrons* และ *Met. oceanicus* (ค่า bootstrap = 100%) (5) *Halimede oothodes*, *Le. exaratus* และ *Galene bispinosa* (ค่า bootstrap = 100%) อย่างไรก็ตามวิธี Maximum likelihood จัดให้กลุ่ม 1, 2 และ 4 มีความใกล้ชิดทางพันธุกรรมกันมากกว่า กลุ่มอื่น (ค่า bootstrap = 50%) จะเห็นได้ว่า ยืน 18SrRNA ยังไม่สามารถแสดงความแตกต่างระหว่างปูที่ใช้เป็นกลุ่ม outgroup (Family Grapsidae) กับ ingroup ได้

ตารางที่ 5 ค่าความแตกต่างทางพนธุกรรมภายใน (แนวโน้มเยลลู) และระหว่างบ้านเชื้อสาย (แนวโน้มเย็นและเย็น) เนื่องจากจำนวนการแทนที่นิวเคลียสอย่างต่อตัวและไม่ต่อตัวของน้ำทุกต่อสานิวเคลียส (41 สาย ที่ความยาว 471 นิวเคลียสให้ผล) ด้วยโมเดล Maximum composite likelihood ที่รวมความประปานของอัตราการเปลี่ยนทางวิวัฒนาการและทำแหน่ง (G) สำนัก Standard error และลงให้เส้นทางเยลลู N/C คือไม่สามารถคำนวณค่าได้เนื่องจากมีจำนวนสายน้ำทุกต่อให้ผลเพียงสายเดียวในกลุ่ม

<i>Halimedea octodes</i>	0.003	0.043	0.105	0.104	0.101	0.142	0.099	0.091	0.072	0.079	0.087	0.170	0.167	0.161
<i>Galene bispinosa</i>	0.164	0.002	0.129	0.124	0.113	0.162	0.100	0.102	0.081	0.109	0.101	0.170	0.165	0.167
<i>Leptodius exaratus</i>	0.395	0.463	0.002	0.035	0.030	0.039	0.100	0.087	0.083	0.111	0.098	0.185	0.177	0.183
<i>Atergatis floridus</i>	0.391	0.449	0.132	0.001	0.023	0.045	0.090	0.080	0.085	0.110	0.093	0.180	0.171	0.183
<i>Atergatis integrifrons</i>	0.381	0.415	0.112	0.088	0.001	0.040	0.090	0.084	0.084	0.119	0.100	0.175	0.166	0.178
<i>Lophozozymus pictor</i>	0.514	0.581	0.156	0.172	0.153	0.001	0.113	0.098	0.106	0.149	0.125	0.200	0.192	0.199
<i>Eriphia smithii</i>	0.375	0.369	0.373	0.336	0.341	0.415	0.005	0.070	0.061	0.076	0.073	0.147	0.142	0.139
<i>Ozium guttatum</i>	0.348	0.382	0.328	0.301	0.316	0.364	0.276	0.007	0.042	0.078	0.092	0.143	0.148	0.151
<i>Epixanthus frontalis</i>	0.269	0.301	0.312	0.317	0.312	0.395	0.234	0.158	0.002	0.071	0.073	0.123	0.112	0.121
<i>Myomenippe harawickii</i>	0.297	0.397	0.411	0.407	0.436	0.544	0.287	0.295	0.270	N/C	0.026	0.184	0.189	0.179
<i>Mennippe rumpfii</i>	0.330	0.372	0.364	0.343	0.371	0.459	0.278	0.346	0.280	0.094	0.006	0.166	0.163	0.160
<i>Metopograpsus frontalis</i>	0.599	0.592	0.654	0.627	0.606	0.694	0.532	0.513	0.449	0.644	0.588	0.000	0.017	0.018
<i>Metopograpsus latifrons</i>	0.594	0.580	0.631	0.600	0.587	0.669	0.510	0.539	0.410	0.661	0.575	0.059	N/C	0.018
<i>Metopograpsus oceanicus</i>	0.569	0.586	0.649	0.640	0.616	0.691	0.506	0.544	0.445	0.626	0.566	0.064	0.065	0.002



ภาพที่ 5 แผนภูมิแสดงความสัมพันธ์ทางวิวัฒนาการ (Phylogenetic tree) ที่สร้างจากลำดับนิวคลีโอไทด์บางส่วนของยีน 16S rRNA บนไมโครคอนเดรีย ด้วยใช้วิธีการ Minimum Evolution เปอร์เซ็นต์สนับสนุนการจัดกลุ่ม คือร้อยละของแผนภูมิที่ได้จากการสุ่มช้ำ (bootstrap) 1000 ครั้ง สัดส่วนของความยาวแขนงที่จัดกลุ่มอนุกรมวิธานบนแผนภูมิฯ คือค่าระยะห่างทางพันธุกรรมที่คำนวณโดยวิธี Maximum Composite Likelihood ซึ่งมีหน่วยเป็นจำนวนการแทนที่เบสต่อตำแหน่ง สร้างแผนภูมิเริ่มต้นโดยวิธี Neighbor-Joining การหาแผนภูมิฯ ใช้วิธี Close-Neighbor-Interchange (CNI) algorithm ใช้ข้อมูลจาก codon ทุกตำแหน่ง (ตำแหน่งที่ 1st, 2nd, 3rd และ Noncoding) จำนวนทั้งสิ้น 477 ตำแหน่ง



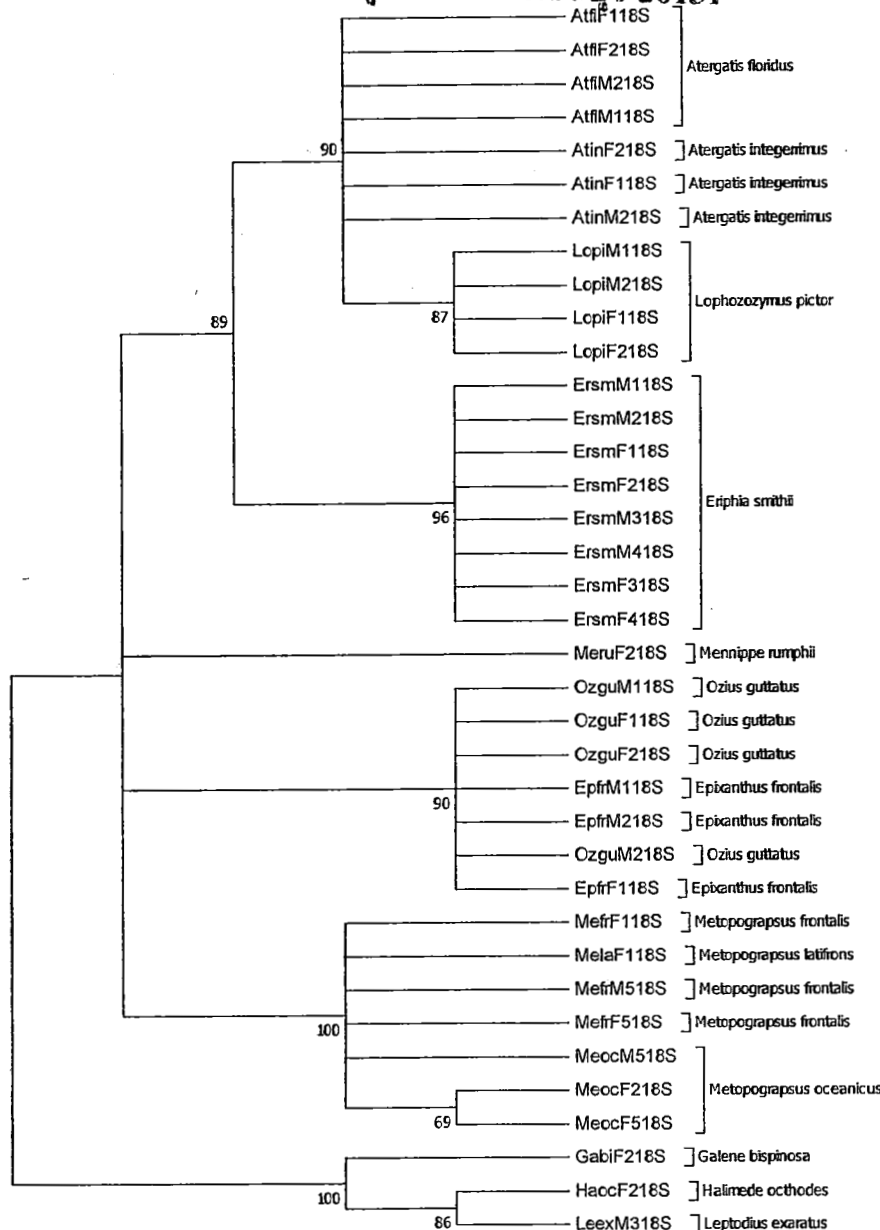
ภาพที่ 6 แผนภูมิแสดงความสัมพันธ์ทางวิวัฒนาการ ที่สร้างจากลำดับนิวคลีโอไทด์บางส่วนของยีน 16S rRNA บนไม้โตคอนเดรีย ด้วยใช้วิธีการ Maximum likelihood ที่อยู่บนฐานของโมเดล Hasegawa-Kishino-Yano (HKY+G) ซึ่งมีค่า log likelihood มากที่สุด (-2925.0396) เปอร์เซ็นต์สนับสนุนการจัดกลุ่ม คือร้อยละของแผนภูมิที่ได้จากการสุ่มช้ำ (bootstrap) 1000 ครั้ง ความยาวแขนระหว่างกลุ่มนукเลอโนวิรานบนแผนภูมิฯ คือจำนวนการแทนที่เบสต่อตำแหน่ง แผนภูมิเริ่มต้นสำหรับการหาแผนภูมิที่ดีที่สุด (heuristic search) ที่สร้างโดยวิธี maximum parsimony (ถ้าจำนวนตำแหน่งน้อยกว่า 100 คู่เบส หรือ ¼ ของสายนิวคลีโอไทด์) หรือ BIONJ method with MCL distance matrix ใช้ข้อมูลจาก codon ทุกตำแหน่ง (ตำแหน่งที่ 1st, 2nd, 3rd และ Noncoding) จำนวนทั้งสิ้น 477 ตำแหน่ง

ตารางที่ 6 ค่าความแม่นยำต่างทางพัฒนรุ่นภูมิภาคใน (แนวโน้มเชิงเส้น) และระหว่างสเปชซ์ (แนวค่าทางเส้นทางและบันทึก) โดยคำนวณจากจำานวนการแพะนิวคลีอิกต่อตัวและหน่วยตัวอย่างที่ใช้สำหรับการทดสอบของนิวคลีอิกต์ (37 สายพันธุ์) ที่ความยาว 751 นิวคลีอิก (G) ด้วยโมเดล Juke-Cantor ที่รวมความแปรปรวนของอัตราการเปลี่ยนทางวิวัฒนาการระหว่างตัวแทน (G) ส่วนค่า Standard error แสดงให้เห็นถึงความเชื่อมโยงทางพัฒนาระหว่างจาแม่นยำค่าได้เนื่องจากมีจำนวนสายนิวคลีอิกต่ำที่สุดเพียงสายเดียวตัวในกลุ่ม

<i>Halimedea octodes</i>	N/C	0.003	0.000	0.006	0.006	0.006	0.006	0.006	0.006	0.006	0.006
<i>Galene bispinosa</i>	0.005	N/C	0.003	0.006	0.006	0.006	0.006	0.006	0.006	0.006	0.006
<i>Leptodioides exaratus</i>	0.000	0.005	N/C	0.006	0.006	0.006	0.006	0.006	0.006	0.006	0.006
<i>Atergatis integrimus</i>	0.028	0.028	0.028	0.000	0.000	0.002	0.003	0.003	0.003	0.003	0.005
<i>Atergatis floridus</i>	0.028	0.028	0.028	0.000	0.000	0.002	0.003	0.003	0.003	0.003	0.005
<i>Lophozozymus pictor</i>	0.029	0.029	0.029	0.003	0.000	0.003	0.004	0.004	0.004	0.005	0.005
<i>Eriphia smithii</i>	0.028	0.029	0.028	0.005	0.005	0.008	0.000	0.004	0.004	0.005	0.005
<i>Ozius guttatus</i>	0.024	0.024	0.024	0.009	0.009	0.011	0.010	0.001	0.003	0.000	0.005
<i>Mennippe rumpfii</i>	0.026	0.026	0.026	0.009	0.009	0.012	0.011	0.007	N/C	0.003	0.005
<i>Epixanthus frontalis</i>	0.023	0.023	0.023	0.008	0.008	0.011	0.009	0.001	0.007	0.000	0.005
<i>Metopograpsus frontalis</i>	0.030	0.030	0.030	0.016	0.016	0.019	0.016	0.016	0.016	0.015	0.000
<i>Metopograpsus latifrons</i>	0.030	0.030	0.030	0.016	0.016	0.019	0.016	0.016	0.016	0.015	0.000
<i>Metopograpsus oceanicus</i>	0.032	0.032	0.032	0.018	0.018	0.021	0.018	0.017	0.018	0.016	0.001

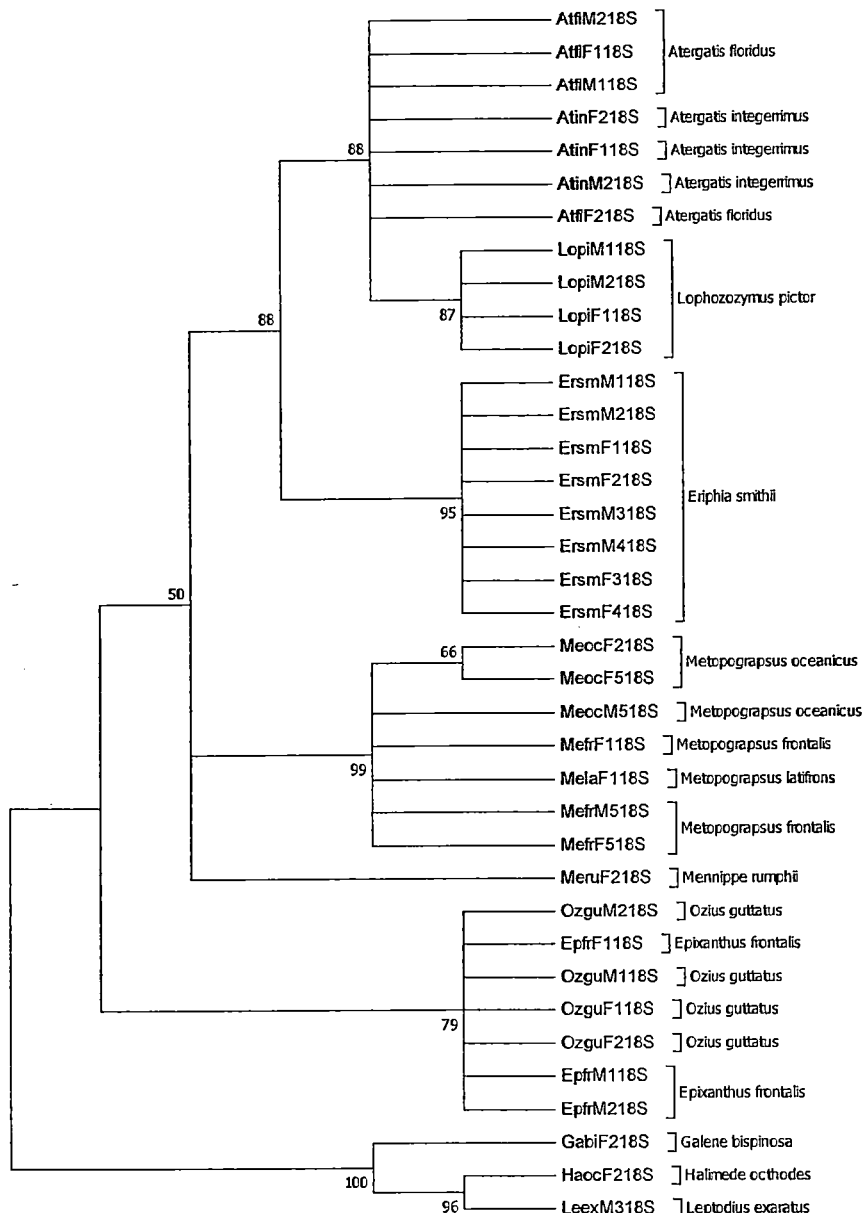
สำนักวิทยาศาสตร์มหาวิทยาลัยบูรพา

ต.แสนสุข อ.เมือง จ.ชลบุรี 20131



ภาพที่ 7 แผนภูมิแสดงความสัมพันธ์ทางวิัฒนาการที่สร้างจากลำดับนิวคลีโอไทด์บางส่วนของยีน 18S rRNA บนไมโครคอนเดรีย ด้วยใช้วิธีการ Minimum Evolution เปอร์เซ็นต์สนับสนุนการจัดกลุ่ม คือร้อยละของแผนภูมิที่ได้จากการสุ่มช้ำ (bootstrap) 1000 ครั้ง สัดส่วนของความยาวแขนงที่จัดกลุ่มนั้นกับรวมวิathanบนแผนภูมินิ คือค่าระยะห่างทางพันธุกรรมที่คำนวณโดยวิธี Juke-Cantor ซึ่งมีหน่วยเป็นจำนวนการแทนที่เบสต่อตำแหน่ง สร้างแผนภูมิเริ่มต้นโดยวิธี Neighbor-Joining การหาแผนภูมิ ใช้วิธี Close-Neighbor-Interchange (CNI) algorithm ใช้ข้อมูลจาก codon ทุกตำแหน่ง (ตำแหน่งที่ 1st, 2nd, 3rd และ Noncoding) จำนวนทั้งสิ้น 751 ตำแหน่ง

301415



ภาพที่ 8 แผนภูมิแสดงความสัมพันธ์ทางวิวัฒนาการ (Phylogenetic tree) ที่สร้างจากลำดับนิวเคลียร์ ไอโซเต็ตบางส่วนของยีน 18S rRNA บนไมโครคอนเดรีย ด้วยใช้วิธีการ Maximum likelihood ที่อยู่บนฐานของโมเดล Juke-Cantor (JC+G) ซึ่งมีค่า log likelihood มากรีที่สุด (-1350.4617) เปอร์เซ็นต์สนับสนุนการจัดกลุ่ม คือร้อยละของแผนภูมิที่ได้จากการสุ่มช้ำ (bootstrap) 1000 ครั้ง ความหมายแผนระหว่างกลุ่มอนุกรมวิธานบนแผนภูมิฯ คือจำนวนการแทนที่เบสต่อตำแหน่ง แผนภูมิเริ่มต้นสำหรับการหาแผนภูมิที่ดีที่สุด (heuristic search) ที่สร้างโดยวิธี maximum parsimony (ถ้าจำนวนตำแหน่งน้อยกว่า 100 คู่เบส หรือ ¼ ของสายนิวเคลียร์ไอโซเต็ต) หรือ BIONJ method with MCL distance matrix ใช้ข้อมูลจาก codon ทุกตำแหน่ง (ตำแหน่งที่ 1st, 2nd, 3rd และ Noncoding) จำนวนทั้งสิ้น 751 ตำแหน่ง

อภิรายผล

ความสามารถในการแยกชนิดปุ่งของยีน 16SrRNA และ 18SrRNA

เมื่อเปรียบเทียบกันระหว่าง 2 ยีนแล้ว ลำดับนิวคลีโอไทด์บางส่วนของยีน 16 SrRNA สามารถยืนยันชนิดได้ดีกว่ายีน 18SrRNA โดยลำดับนิวคลีโอไทด์ของยีน 16SrRNA สามารถจัดตัวอย่างปูน้ำเดิมได้ตรงตามสปีชีส์ที่แยกโดยสัณฐานได้อย่างชัดเจน ในเกือบทุกสปีชีส์ ในขณะที่ยีน 18SrRNA สามารถจัดสปีชีส์ได้เพียงบางกลุ่มเท่านั้น เช่น *Lophozooymus pictor* ทั้งนี้น่าจะเป็นผลจากจำนวนตำแหน่งที่สามารถใช้ในการวิเคราะห์ความแตกต่าง มีจำนวนน้อยเกินไป

ส่วนของนิวคลีโอไทด์ตำแหน่ง 16SrRNA น่าจะมีศักยภาพในการพัฒนาเป็นบาร์โคดดีเอ็นเอ สำหรับปูน้ำเดิมได้ ซึ่งบาร์โคดดีเอ็นเอหมายถึงสายนิวคลีโอไทด์สายสั้นๆ ที่เป็นสมบัติเฉพาะตัว ของสิ่งมีชีวิตชนิดนั้นๆ และมีความแตกต่างจาก สิ่งมีชีวิตชนิดอื่น (Hajibabaei et al. 2007; wwwbarcodeoflife.org) ดังนั้นบาร์โคดดีเอ็นเอจึงไม่มีความมีความแปรปรวนภายในชนิดมากนัก ในขณะที่ ต้องแสดงความแตกต่างระหว่างชนิดได้ดี ทั้งนี้ต้องมีเทียบมาตรฐานของบาร์โคด และสร้างฐานข้อมูลระดับสากล เพื่อให้สามารถใช้บาร์โคดที่เป็นชิ้นดีเอ็นเอเดียวกัน เปรียบเทียบกับ สิ่งมีชีวิตต่างๆ จากทั่วโลก

ในปัจจุบันมีการผลักดันให้ใช้ยีนบางตำแหน่งเป็นมาตรฐาน (ตารางที่ 7; Consortium for the Barcoding of Life, CBOL, wwwbarcodeoflife.org) เช่น ในสัตว์ จะเป็นบางส่วนของยีน cytochrome C oxidase I (COI) ของไมโทคอนเดรีย ส่วนในพืช ได้มีการใช้ชิ้นดีเอ็นเอจากคลอโรฟลาส คือ ยีน large subunit of ribulose-bisphosphate carboxylase (rbcL) และ ชิ้นส่วนดีเอ็นเอที่อยู่ระหว่าง ยีน trnH tRNA และยีน photosystem II protein D1 (psbA) และดีเอ็นเอจาก ส่วนที่เรียกว่า internal transcribed sequence (ITS) ของยีนในนิวเคลียส เนื่องจาก COI ไม่สามารถบ่งชี้ความแตกต่างระหว่างชนิดได้ดีพอในพืช

ฐานข้อมูลแหล่งใหญ่ (GenBank และ Barcode of Life Data Systems) มีจำนวนสายนิวคลีโอไทด์ของยีนที่เกี่ยวข้องแล้ว มีจำนวนสูงกว่า 1,500,00 สายนิวคลีโอไทด์ (www.ibol.org/resources/barcode-library/) ซึ่งเป็นตัวแทนของสิ่งมีชีวิตทุกกลุ่ม ทั้งสิ้นประมาณ 147,877 ชนิด ยีน COI สามารถแยกชนิดในสัตว์กลุ่ม Decapoda ได้ค่อนข้างดี โดย Matzen da Silva et al. (2011) "ได้วิเคราะห์ลำดับนิวคลีโอไทด์ของ COI บาร์โคดของ 15,272 สายนิวคลีโอไทด์ ซึ่งเป็นตัวแทนของ 528 สปีชีส์, 213 เจนอรา และ 67 แฟมิลี และได้พบความแตกต่างทางพันธุกรรม เมื่อคำนวณโดย K2P distance (%) ภายในสปีชีส์ อยู่ในช่วง 0-4.60 ความแตกต่างภายในจีนัส อยู่ในช่วง 2.509-32.75 ความแตกต่างภายในแฟมิลี อยู่ในช่วง 6.694-48.348 เปอร์เซ็นต์ และ ภายในออร์เดอร์ในช่วง 8.509-54.094

นอกจากนี้ ในกลุ่มตัวอย่างที่มีความคล้ายคลึงทางสัณฐานมาก เช่น สปีชีส์ในสกุล *Metopograpsus* (ปูแสม) (ภาพที่ 9) ที่แยกจากกันโดยรูปร่างกระดอง สีของก้ามหนีบ และการมี/ไม่มีหนามบนก้ามหนีบ เท่านั้น ขึ้นส่วนของ 16SrRNA ที่ใช้ในการศึกษาในครั้งนี้ยังสามารถบ่งชี้ความแตกต่างได้อย่างชัดเจน (ภาพที่ 10) โดยสามารถมีจำนวนนิวคลีโอไทด์ที่แตกต่างกันระหว่างชนิดทั้งสิ้น 32-38 ตำแหน่งจาก 507 ตำแหน่ง ในขณะที่ความแปรปรวนภายในแต่ละชนิดมีเพียง 0-2 ตำแหน่งจาก 507 ตำแหน่งเท่านั้น ระดับความแตกต่างระหว่างชนิดในครั้งนี้ (6.5-7.4 เปอร์เซ็นต์) ซึ่งอยู่ในช่วงที่ยืน COI สามารถตรวจสอบได้ (มีค่าความต่างภายในจีนสังขงสัตว์กลุ่ม Decapoda อยู่ในช่วง 2.509-32.75, Matzen da Silva et al. 2011)

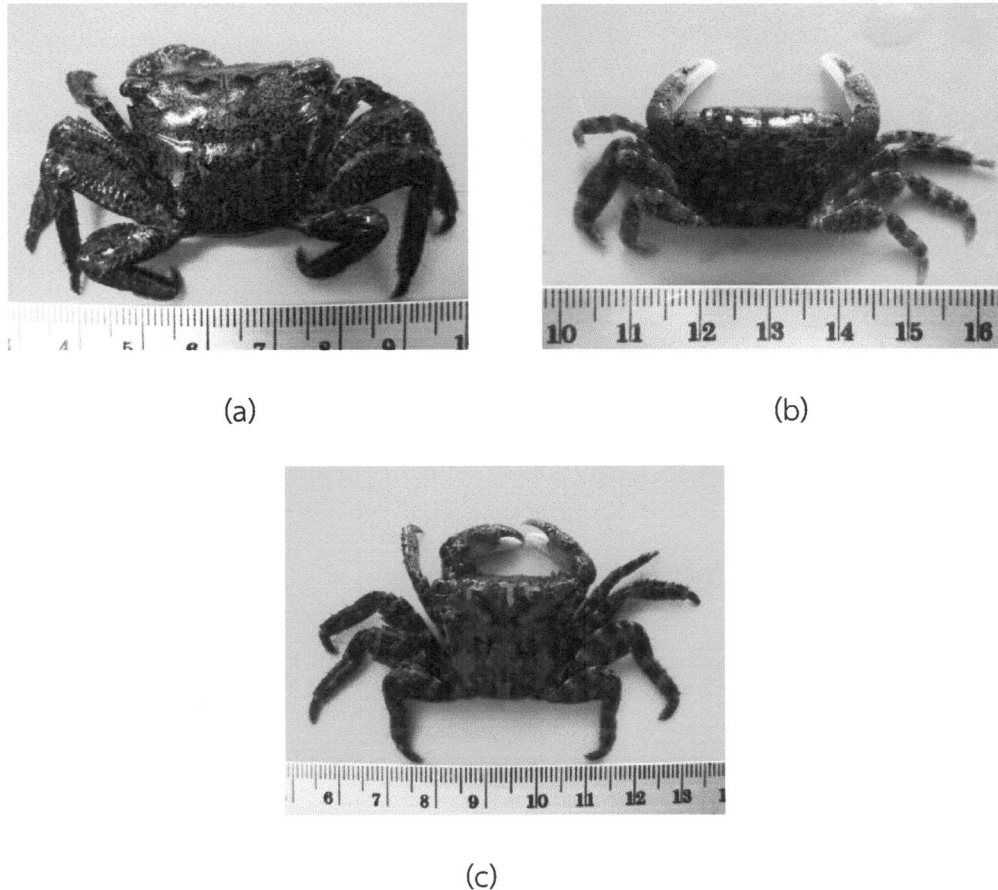
ตารางที่ 7 ขึ้นส่วนดีเอ็นเอที่สามารถแยกชนิดสิ่งมีชีวิตได้ (ที่มา: Hajibabaei et al. 2007)

ขึ้นส่วนดีเอ็นเอ	ตำแหน่ง	จำนวนสายนิวคลีโอไทด์			
		สัตว์	พืช	โปรดิสต์	รา
COI-barcode ¹	ไม่โทคอนเดรีย	195,777	520	1,931	410
16SrDNA ²	ไม่โทคอนเดรีย	41,381	221	2,059	285
Cytochrome b	ไม่โทคอนเดรีย	88,324	165	1,920	1084
ITS1-rDNA ²	นิวเคลียส	12,175	57,693	68,839	56675
ITS2-rDNA ²	นิวเคลียส	13,923	58,065	67,332	56349
18SrDNA ²	นิวเคลียส	21,063	17,121	32,290	33327
rbcL ²	พลาสติด	NA	30,663	37328	NA

หมายเหตุ ¹ มาจากฐานข้อมูลของ Barcode of Life Data Systems

² มาจากฐานข้อมูล GenBank

NA (not available) ไม่มีข้อมูล



ภาพที่ 9 สัณฐานของปูในสกุล *Metopograpsus* ที่พบบริเวณหมู่เกาะแมมสาร (a) *Met. latifrons*, (b) *Met. frontalis* และ (c) *Met. oceanicus*

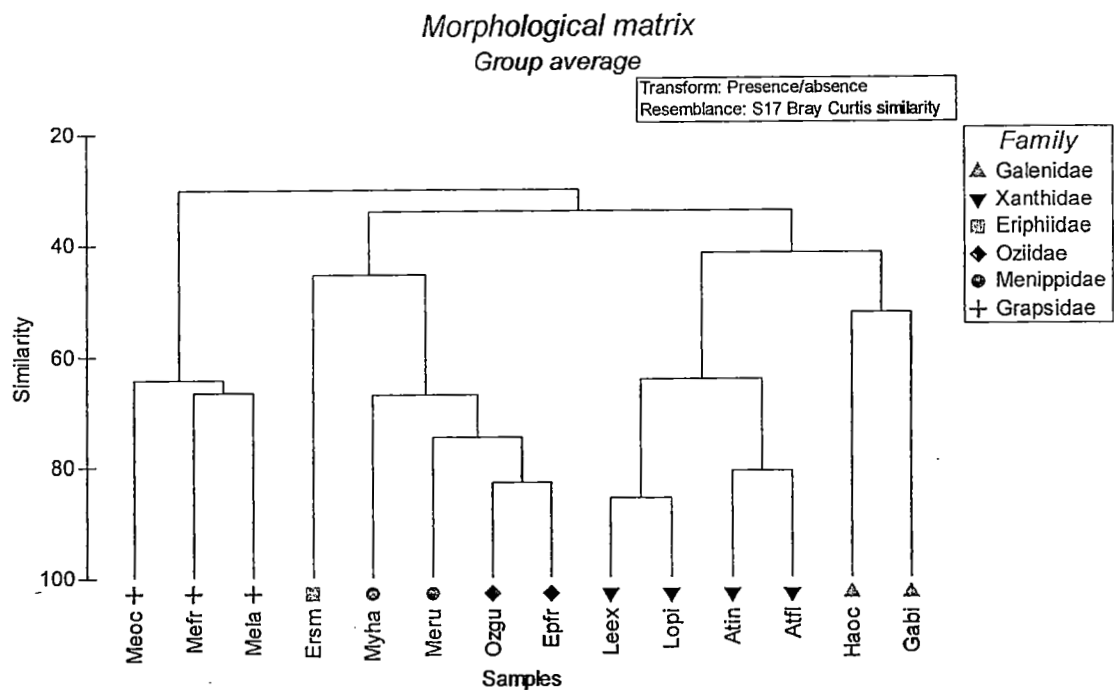
MefrM116S	AAATTTAAAG GTCGAACAGA CCTTCCTTTA CAACTGCTGC AATTGTAAAG AAATTTTAAT	60
MefrM516S	60
MefrF516S	60
MelaF116SC.....A.....	60
MeocF116S	60
MeocF216S	60
MefrM116S	TCAACATCGA GGTCGCAAAAC TTTTCTGTCG ATAAGAACTC TCAAAAAAAA TTACGCTGTT	120
MefrM516S	120
MefrF516S	120
MelaF116ST.....T.....	120
MeocF116ST.....	120
MeocF216ST.....	120

ภาพที่ 10 การ align ลำดับนิวคลีโอไทด์ของปูน้ำเค็มสกุล *Metopograpsus* 3 สปีชีส์คือ *Met. frontalis* (Mefr), *Met. latifrons* (Mela) และ *Met. oceanicus* (Meoc) สีที่เรางาแสดงถึงชนิดที่แตกต่างกัน

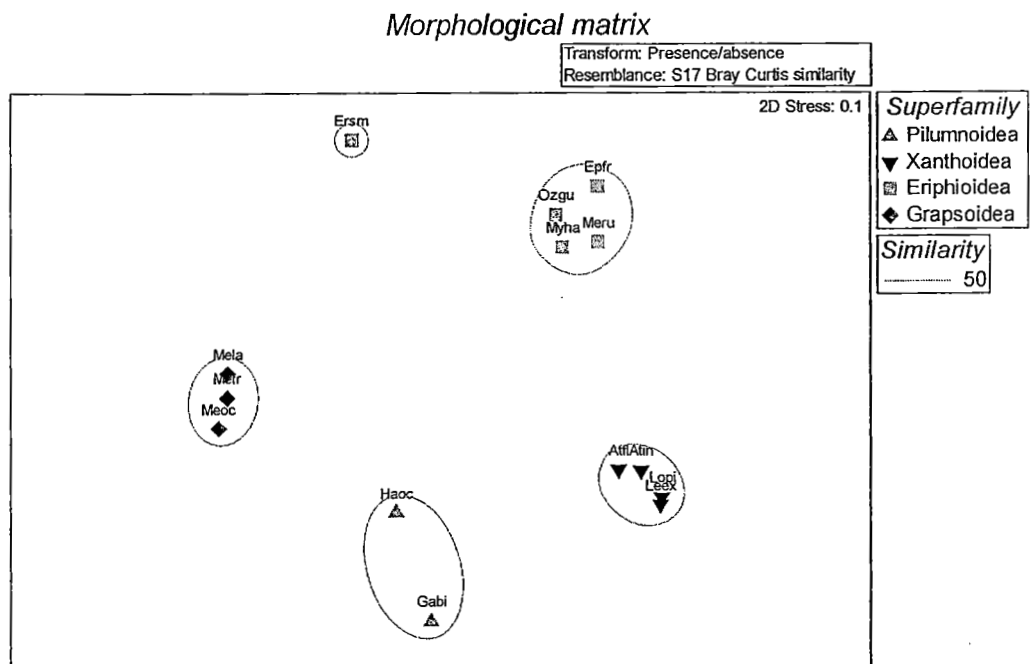
Superfamily 8 กลุ่ม และปรับ/เพิ่ม family เป็น 16 กลุ่ม แม้ว่าแต่ละ Family จะมีความแตกต่างของสัณฐาน แต่ไม่มี family ใดที่มีลักษณะเฉพาะ family จึงทำให้เกิดข้อสงสัยว่า การทบทวนและปรับอนุกรมวิธานของปูกลุ่มนี้จะสะท้อนความสัมพันธ์ทางวิวัฒนาการหรือไม่ หรือระดับความแตกต่างโดยสัณฐานเท่าใดจึงจะเพียงพอในการจัดสเปชีส์ให้อยู่ใน family หรือ superfamily ที่ต่างกัน

สำหรับตัวอย่างบูใบจากหมู่เกาะแสมสาร การวิเคราะห์ทางพันธุกรรมในการศึกษานี้ปังชี้ว่า การทบทวนอนุกรมวิธานโดย Ng et al. (2008) ที่ใช้สัณฐาน ส่วนใหญ่จะสะท้อนความสัมพันธ์ทางวิวัฒนาการ (อ้างอิงจากการวิเคราะห์ความสัมพันธ์ทางวิวัฒนาการของลำดับนิวคลีโอไทด์บางส่วนของยีน 16SrRNA โดยวิธี Maximum likelihood) ในระดับจีนัส และแฟมิลี แต่ยังไม่สะท้อนความสัมพันธ์ในระดับ Superfamily โดยเฉพาะอย่างยิ่งภายใน Superfamily Eriphioidea ซึ่งประกอบด้วย families Oziidae, Menippidae และ Eriphiidae โดยใน 3 families นี้ควรจะมีความคล้ายคลึงทางพันธุกรรมกันมากกว่า แฟมิลีอื่น แต่ผลการทดสอบทางพันธุกรรม บ่งชี้ว่าความแตกต่างภายใน Superfamily นี้ มีระดับพอๆ กับความแตกต่างของสมาชิกใน Superfamily นี้ กับ Superfamily อื่น

เมื่อพิจารณาด้วยความคล้ายกันของสัณฐาน (21 ลักษณะ) ของสเปชีส์ที่พบที่หมู่เกาะแสมสาร ที่อธิบายโดย Sakai (1976) และ Ng et al. (2008) พบว่าเกือบทุก families มีการจัดกลุ่มที่แตกต่างกันอย่างชัดเจน ยกเว้น families Oziidae และ Menippidae (ภาพที่ 11) และเมื่อพิจารณาความสัมพันธ์ภายใน Superfamily Eriphioidea พบว่า Families Oziidae และ Menippidae เกาะกลุ่มอยู่ร่วมกัน ในขณะที่ Eriphiidae แยกไปเป็นกลุ่มต่างหาก (ภาพที่ 12) ซึ่งเมื่อพิจารณาผลทางการจัดกลุ่มทางพันธุกรรม ร่วมกับผลการวิเคราะห์ข้อมูลสัณฐาน (ภาพที่ 13) พบว่า Families Oziidae และ Minippidae มีความใกล้เคียงกันทั้งสัณฐาน แต่มีความแตกต่างทางพันธุกรรม จึงเป็นประเด็นที่น่าสนใจว่าความแตกต่างทางพันธุกรรมที่เห็นเพียงพอที่จะแยกครอบครัวได้หรือไม่ ในขณะที่ Family Eriphiidae มีความแตกต่างกันกับทั้งสองแฟมิลี ใน Superfamily เดียวกัน อยู่ในระดับที่น่าจะแยกเป็น Superfamily ใหม่ได้ (เทียบเท่ากับความแตกต่างระหว่าง Superfamilies Xanthoidea และ Pilumnoidea)

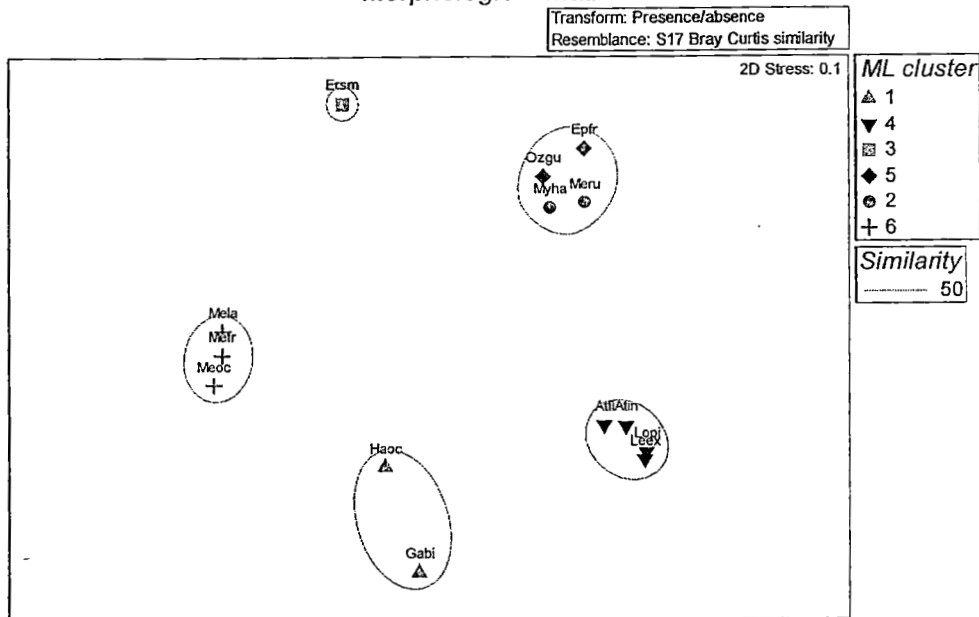


ภาพที่ 11 การจัดกลุ่มของสปีชีส์ และแฟมิลี โดยการวิเคราะห์ cluster analysis จากค่า Bray-Curtis similarity index ที่คำนวนจาก ความคล้ายกันของสัณฐาน 21 ลักษณะ



ภาพที่ 12 การจัดกลุ่มสปีชีส์โดยวิธี multidimentional scaling (MDS) จากค่า Bray-Curtis similarity index ที่คำนวนจาก ความคล้ายกันของสัณฐาน 21 ลักษณะ และข้อมูลทับถ่าย Superfamily ที่แสดงเป็นสัญลักษณ์แบบต่างๆ และวงกลมแสดงระดับความคล้ายกันมากกว่า 50 เปอร์เซ็นต์

Morphological matrix



ภาพที่ 13 การจัดกลุ่มสปีชีส์โดยวิธี multidimensional scaling (MDS) จากค่า Bray-Curtis similarity index ที่คำนวนจาก ความคล้ายกันของสัณฐาน 21 ลักษณะ และข้อนับด้วย การจัดกลุ่มโดยการวิเคราะห์ความสัมพันธ์ทางวิถีและการ แบบ Maximum Likelihood ที่แสดง เป็นสัญลักษณ์แบบต่างๆ และวงกลมแสดงระดับความคล้ายกันมากกว่า 50 เปอร์เซ็นต์

เมื่อพิจารณาการจัดหมวดหมู่ทางพันธุกรรมของปูกลุ่มนี้จากหลายแหล่งทั่วโลก (โดยใช้ข้อมูล จากร้านข้อมูล Genbank, ตารางที่ 8) พบว่าสายลำดับนิวคลีโอไทด์ 16S rRNA สามารถจัดสปีชีส์ได้ดี ในเกือบทุก Genera ยกเว้น *Menippe* (*Minippe rumpfii* และ *Min. nodifrons*), *Atergatus* (*Atergatus floridus* กับสปีชีส์อื่นในจีนสเดียวกัน), *Pilumnus* (*P. vespertilio* กับอีกสองสปีชีส์) และ *Eurypanopeus* (*E. planissimus* ไม่ได้จัดกลุ่มกับอีกสองสปีชีส์) และสามารถจัดกลุ่มใน ระดับ family ได้ดีในระดับหนึ่ง โดยส่วนใหญ่จะประกอบไปด้วยสปีชีส์ตามที่ควรจะเป็น ยกเว้นใน Families Xanthidae, Panopeidae และ Pseudorhombilidae ซึ่งเป็นสมาชิกของ Superfamily Xanthoidea เมื่อกัน ที่สมาชิกของแต่ families มีการจัดกลุ่มปนกัน แม้ว่าจะมีการแสดงการ จัดกลุ่มในระดับ Superfamily ที่สอดคล้องกับอนุกรมวิธาน ทั้งนี้น่าจะสะท้อนความแปรปรวน ของสัณฐานของปูในกลุ่มนี้เอง ที่น่าจะต้องมีการเพิ่มจำนวนตัวอย่างในแต่ละสปีชีส์ และการต้องมี การทบทวนการเรียกชื่อให้เป็นไปในทิศทางเดียวกันอีกด้วย

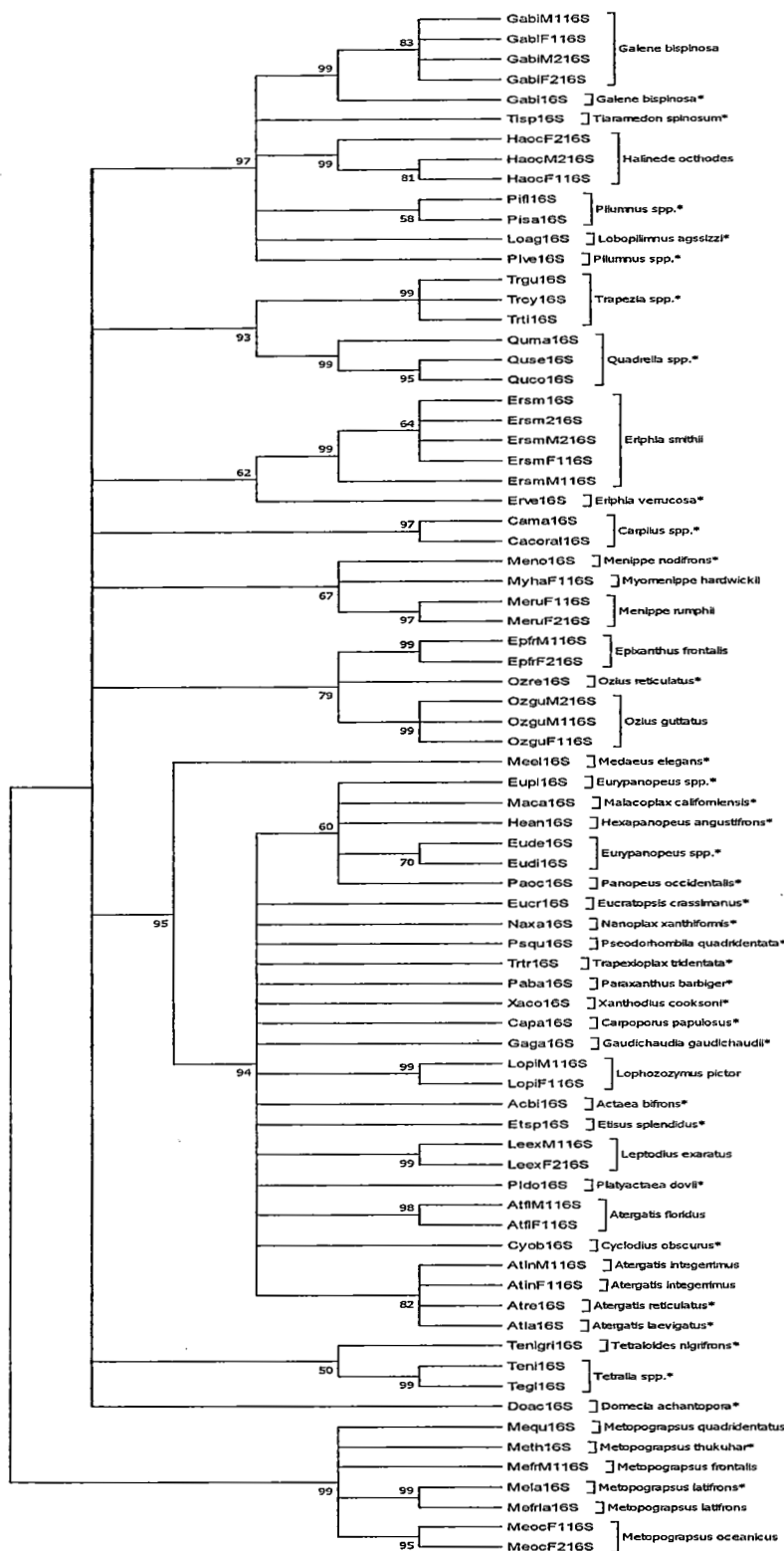
แม้ว่าการจัดกลุ่มใน Superfamily Xanthoidea และ Pilumnoidea จะสอดคล้องกับ หมวดหมู่อนุกรมวิธานโดยสัณฐาน ความสัมพันธ์ในระดับ Superfamilies อื่นๆ ยังไม่ชัดเจน โดย ที่แผนภูมิฯ ยังไม่สามารถแสดงความสัมพันธ์ของแต่ละ families ได้ดี เช่นใน Superfamilies Eriphioidea, และ Trepezoidea ที่สมาชิกกระจายอยู่คนละกลุ่ม (แม้ว่าจะจัดกลุ่มตาม family ได้ดี)

ตารางที่ 8. รายชื่อสปีชีส์ของปูในกลุ่มปูใบ ที่มีสายนิวคลีโอไทด์ ของยีน 16S rDNA ที่มีในฐานข้อมูล GenBank โดยการเรียกชื่อ family และ superfamily เป็นไปตามกับจัดหมวดหมู่โดย Ng et al. (2008).

Superfamily	Family (Ng et al. 2008)	Species	GenBank Accession Number
Xanthoidea MacLeay, 1838	Xanthidae MacLeay, 1838	<i>Atergatis reticulatus</i>	DQ062726.1
		<i>Atergatis laevigatus</i>	FJ548944.1
		<i>Platyactaea dovi</i>	GU144451.1
		<i>Paraxanthus barbiger</i>	FJ031221.1
		<i>Medaeus elegans</i>	GU144447.1
		<i>Xanthodius cooksoni</i>	GU144445.1
		<i>Gaudichaudia gaudichaudii</i>	FJ687223.1
		<i>Cyclodius obscurus</i>	GU144459.1
		<i>Actaea bifrons</i>	GU144458.1
		<i>Carpoporus papulosus</i>	GU144457.1
	Panopeidae Ortmann, 1893	<i>Eitis splendidus</i>	GQ249175.1
		<i>Panopeus occidentalis</i>	EU863394.2
		<i>Eucratopsis crassimanus</i>	EU863392.2
		<i>Eurypanopeus depressus</i>	EU863390.2
		<i>Eurypanopeus dissimilis</i>	EU863387.2
Pseudorhombilidae Alcock, 1900	Pseudorhombilidae Alcock, 1900	<i>Eurypanopeus planissimus</i>	EU863386.2
		<i>Hexapanopeus angustifrons</i>	EU863385.2
		<i>Malacoplax californiensis</i>	GU144460.1
		<i>Pseudorhombila quadridentata</i>	GU144454.1
		<i>Nanoplax xanthiformis</i>	GU144436.1
	Trapeziidae Miers, 1886	<i>Trapezioplax tridentata</i>	EU863344.2
		<i>Trapezia tigrina</i>	FJ548963.1
		<i>Trapezia guttata</i>	FJ548962.1
		<i>Trapezia cymodoce</i>	FJ548961.1
		<i>Quadrella serenei</i>	FJ548955.1
Trapezoidea Miers, 1886	Domeciidae Ortmann, 1893	<i>Quadrella maculosa</i>	FJ548954.1
		<i>Quadrella coronata</i>	FJ548953
		<i>Domecia achantopora</i>	FJ548949.1
		<i>Tetraliidae Castro, Ng & Ahyong, 2004</i>	FJ548959.1
		<i>Tetralia nigrolineata</i>	FJ548958.1
	Tetraliidae Castro, Ng & Ahyong, 2004	<i>Tetralia glaberrima</i>	FJ548960.1
		<i>Tetraloides nigrifrons</i>	

ตารางที่ 8 (ต่อ)

Superfamily	Family (Ng et al. 208)	Species	GenBank Accession Number
Pilumnoidea Samouelle, 1819	Pilumnidae Samouelle, 1819 Galenidae Alcock, 1898	<i>Pilumnus floridanus</i> <i>Pilumnus sayi</i> <i>Pilumnus vespertilio</i> <i>Lobopilumnus agssizii</i> <i>Tiaramedon spinosum</i> <i>Galene bispinosa</i>	EU863403.2 GU144435.1 FJ548952.1 EU863402.2 GU144441.1 GU144444.1
Eriphioidea 1838	MacLeay, Oziidae Dana, 1851	<i>Ozius reticulatus</i>	GU144446.1
	Eriphiidae MacLeay, 1838	<i>Eriphia verrucosa</i> <i>Eriphiidae sp</i>	EU863398.2 EU284155.1
	Menippidae Ortmann, 1893	<i>Menippe nodifrons</i>	AJ130817.1
Carpilioidea 1893	Ortmann, Carpiliidae Ortmann, 1893	<i>Carpilius maculatus</i> <i>Carpilius corallinus</i>	GU144450.1 AF503462.1
Grapsoidea 1838	MacLeay, Grapsidae MacLeay, 1838	<i>Metopograpsus latifrons</i> <i>Metopograpsus quadridentatus</i> <i>Metopograpsus thukuhar</i>	AJ784028.2 DQ062732 AJ784027.2



ภาพที่ 14 ความสัมพันธ์ทางวิวัฒนาการที่สร้างจากลำดับนิวคลีโอไทด์บางส่วนของยีน 16S rRNA บนไมโครคอนเดรีย ของลำดับนิวคลีโอไทด์ของปูจากหมู่เกาะแสมสาร และ GenBank ด้วยใช้วิธีการ Maximum likelihood ที่อยู่บนฐานของโมเดล TN93+G+I * แสดงลำดับนิวคลีโอไทด์จากฐานข้อมูล GenBank

สรุปผลการวิจัย

1. การวิเคราะห์ลำดับทางพันธุกรรมด้วยลำดับนิวคลีโอไทด์บางส่วน ของยีน 16SrRNA และ 18SrRNA ของปลากลุ่มปูใบ (Family Xanthidae Alcock, 1898 sensu Sakai (1979)) แสดงให้เห็นว่ายีน 16SrRNA สามารถยืนยันชนิดปูได้ดีกว่ายีน 18SrRNA และสามารถจัดหมวดหมู่ของสปีชีส์ที่พบในบริเวณหมู่เกาะแสมสาร ในระดับแฟมิลี และ ชุบเปอร์แฟมิลีได้ ตรงกับการจัดหมวดหมู่ตามลักษณะสัณฐานที่จัดใหม่โดย Ng et al. (2008)
2. อย่างไรก็ตาม ยืนดังกล่าวยังไม่สามารถแสดงความสัมพันธ์ระหว่างแฟมิลี Oziidae, Menppidae และ Eriphiiidae ซึ่งอยู่ในชุบเปอร์แฟมิลีเดียวกันได้ แม้ว่าจะสามารถแยก family ทั้งสามออกจากกันได้อย่างชัดเจน ตั้งนั้นจึงน่าจะเป็นประเด็นที่น่าสนใจว่า การ จัดแฟมิลีทั้งสามให้อยู่ชุบเปอร์แฟมิลีเดียวกัน โดยสัณฐาน อาจยังไม่สะท้อนความสัมพันธ์ ทางวิวัฒนาการ ทั้งนี้อาจต้องมีการยืนยันด้วยยีนอื่น เช่นยีน COI อีกครั้งหนึ่ง

เอกสารอ้างอิง

กรมประมง 2544. สถิติการประมงแห่งประเทศไทย พ.ศ. 2544. กองเศรษฐกิจการประมง กรมประมง กระทรวงเกษตรและสหกรณ์. เอกสารฉบับที่ 10/2545

วนิสา กัณฑ์มณี. 2550. ความสัมพันธ์ทางวิวัฒนาการของกุ้งสกุล *Metapeneaus* บางชนิดที่พบรทางภาคตะวันออกของประเทศไทยโดยการวิเคราะห์ลำดับนิวคลีโอไทด์ของยีน 16S rRNA และ COI บนไมโครคอนเดรีย. วิทยานิพนธ์วิทยาศาสตรมหาบัณฑิต สาขาวิชาศาสตร์ มหาวิทยาลัยบูรพา

วิสุทธิ์ ใบไม้. 2538. สถานภาพความหลากหลายทางชีวภาพในประเทศไทย. สำนักงานกองทุนสนับสนุนการวิจัย (สกว.) กรุงเทพฯ. 254 หน้า.

Ahyong, S.T., Lai, J.C.Y., Sharkey, D., Colgan, D.J., Ng., P.K.L. (2007). Phylogenetics of the brachyuran crabs (Crustacea: Decapoda): The status of Podotremata based on small subunit nuclear ribosomal RNA. Molecular Phylogenetic and Evolution, 45, 576-586.

Aljanabi, SM, & I. Martinez. (1997) Universal and rapid salt-extraction of high quality genomic DNA for PCR-based techniques. Nucleic Acid Research 25: 4692-4693.

Avise, J.C. 2004. Molecular markers, natural history and evolution (2nd ed.). Massachusetts: Sinauer Associates, Inc. Publishers.

Baldwin, J.D, Bass, A.L. Bowen, B.W., Clark Jr , W.H. 1998. Molecular phylogeny and biogeography of the marine shrimp *Penaeus*. Molecular Phylogenetics and Evolution 10: 399-467.

Billington, N. 2003. Mitochondrial DNA. Pages 59-100 in E. M Hallerman (eds). *Population genetics: Principles and applications for fisheries scientist*. American Fisheries Society. Bethesda, Maryland.

Chu, K.H., Tong, J., Chan, T. 1999. Mitochondrial cytochrome oxidase I sequence divergence in some Chinese species of *Charybdis* (Crustacea: Decapoda: Portunidae). Biochemical Systematics and Ecology 27: 461-468

Felsenstein, J. 1985. Confidence limits on phylogenies: an approach using the Bootstrap. Evolution 39: 783-791.

- Fratini, S., Vannini, M., Cannicci, S., Schubart, C.D. (2005). Tree-climbing Mangrove Crabs, a case of convergent evolution. *Evolutionary Ecological Research* 7: 219-233.
- Hajibabaei M, Singer GAC, Hebert PDN, Hickey DA (2007) DNA barcoding: how it complements taxonomy, molecular phylogenetics and population genetics. *Trends in Genetics*, 23:167-172.
- Hall, T. (2001). BioEdit version 5.0.6. Department of Microbiology, North Carolina State University.
- Halliburton, R. (2004). *Introduction to Population Genetics*. Pearson Prentice Hall. New Jersey
- Hebert, P.D.N., Ratnasingham, S., Dooh, R. 2004. Barcodes of Life.
<http://www.barcodinglife.com/>
- Hillis, D.M., Moritz, C. (eds.) 1990. Molecular systematics. Sinauer Associates, Inc. Publishers, Sunderland, Massachusetts, USA.
- Kim, W., Abele, L.G. 1990. Molecular Phylogeny of Selected Decapod Crustaceans Based on 18s rRNA Nucleotide Sequences. *Journal of Crustacean Biology* 10: 1-13
- Lavery, S., Chan, T.Y., Tam, Y.K. Chu, K.H. 2004. Phylogenetic relationships and evolutionary history of the shrimp genus *Penaeus* s.l. derived from mitochondrial DNA. *Molecular Phylogenetics and Evolution* 31: 39 – 49.
- Lemey P., Salemi, M., Vandamme, A. (eds) 2009. *The Phylogenetic Handbook: A Practical Approach to Phylogenetic Analysis and Hypothesis Testing*, Second Edition. New York: Cambridge University Press.
- Lowe, A., Harris, S., Ashton, P. 2004. *Ecological Genetics: Design, Analysis, and Application*. Blackwell Publishing. Oxford, UK.
- Maggioni, R., Rogers, A.D., Maclean, N., Incao, F. D. 2001. Molecular phylogeny of Western Atlantic *Farfantepenaeus* and *Litopenaeus* shrimp based on

mitochondrial 16S partial sequences. *Molecular Phylogenetics and Evolution* 18: 66-73.

Mahon, B.C., Neigel, J.E. (2008). Utility of arginine kinase for resolution of phylogenetic relationships among brachyuran genera and families. *Molecular Phylogenetics and Evolution*, 48, 718-727.

Mantelatto, F.L., Robles, R., Felder, D.L. 2007. Molecular phylogeny of the western Atlantic species of the genus Portunus (Crustacea, Brachyura, Portunidae). *Zoological Journal of the Linnean Society* 150: 211–220.

Mathews, L.M., Anker, A. 2009. Molecular phylogeny reveals extensive ancient and ongoing radiations in a snapping shrimp species complex (Crustacea, Alpheidae, *Alpheus armillatus*). *Molecular Phylogenetics and Evolution* 50: 268–281.

Matzen da Silva, J., Creer, S., dos Santos, A., Costa, A.C., Cunha, M.R., Costa, F.O., Carvalho, G.R. 2011. Systematic and evolution insights derived from mtDNA COI barcode diversity in the Decapoda (Crustacea: Malacostraca). *PLoS ONE* 6(5): e1949.

Ng, P.K.L., Guinot, D., Davie, P.J.F. (2008). Systema Brachyurorum: Part I. An annotated checklist of extant brachyuran crabs of the world. *The Raffles Bulletin of Zoology*, 17, 1-286.

Robles, R., Schubart, C.D., Conde, J.E., Carmona-Suárez, C., Alvarez, F., Villalobos, J.L., Felder, D.L. (2007). Molecular phylogeny of the American Callinectes Stimpson, 1860 (Brachyura: Portunidae), based on two partial mitochondrial genes. *Mar. Biol.*, 1265-1274.

Sakai, T. 1976. Crabs of Japan and adjacent seas. The Carcinological Society of Japan. Schubart, C.D., Canicci, S., Vannini, M., Fratini, S. 2006. Molecular phylogeny of Grapsoid Crabs (Decapoda, Brachyura) and allies base on two mitochondrial genes and a proposal for refraining from current superfamily classification. *Journal Compilation*, 1-7.

Schubart, C.D., Reuschel, S. 2010. A proposal for a new classification of Portunidea and Cancroidea (Brachyura: Heterotremata) based on two independent molecular phylogenies. *Decapod crustacean phylogenetic*. Editor. Joel W

Martin , Keith A. Crandall , and Darryl L. Felder. Series Edited by Stefan Koenemann. CRC Press.

Swofford, D.L., Sullivan, J. 2009. Phylogeny Inference based on parsimony and other methods using PAUP*. Section III : The Phylogenetic Handbook: A practical approach to phylogenetic analysis and hypothesis testing (2nd ed.). Edited by Philippe Lemey, Marco Salemi and Anne-Mieke Vandamme. New York: Cambridge University Press.

Tamura K, Peterson D, Peterson N, Stecher G, Nei M, and Kumar S (2011) MEGA5: Molecular Evolutionary Genetics Analysis using Maximum Likelihood, Evolutionary Distance, and Maximum Parsimony Methods. *Molecular Biology and Evolution* 28: 2731-2739.

Tudge, C.C., Cunningham, C.W. 2002. Molecular phylogeny of the mud lobsters and mud shrimps (Crustacea : Decapoda : Thalassinidea) using nuclear 18S rDNA and mitochondrial 16S rDNA. *Invertebrate Systematics* 16(6): 839 – 847.